

Área de Conocimiento de Ingeniería y Afines

"Diseño de un Sistema Fotovoltaico con Inyección a la Red para el Restaurante Jicarita ubicado en el Municipio de Rivas"

Trabajo Monográfico para optar al título de Ingeniero Eléctrico

Elaborado por:

Br. Noel Alejandro Jiménez Linarte Carnet: 2008-23353

Br. Hamilton Isidro Ortiz Guadamuz Carnet: 2017-0726U

Ing. Juan José G**o**nzález Mena

Tutor:

Índice General

Índice General	1
Índice de tablas	3
Índice de figuras	4
Lista de Abreviaturas	5
Introducción	6
Objetivos	8
Objetivos Generales	8
Objetivos Específicos	8
Antecedentes	9
Justificación	12
Problemática	13
Diagnóstico de la situación	14
Análisis de causas y efectos.	17
Análisis de los medios y fines	19
Alternativa de solución	20
Estudio de mercado	22
Estructura económica del país	22
Instrumento de política económica	24
Descripción del producto o servicio	24
Paneles Solares	25
Inversor	25
Medidor Bidireccional	25
Beneficiario del proyecto	25
Demanda	26
Proyección de la demanda	27
Oferta	32
Demanda potencial insatisfecha DPI	33
Estudio técnico.	34
Tamaño de planta	34
Volumen de generación	34
Macro localización	35
Micro localización	35
Ubicación Geográfica	40

Método cualitativo por punto	41
Ingeniería del proyecto	42
Planteamiento	43
Determinar la carga del sistema	43
Cálculo de la potencia pico	45
Voltaje del sistema	47
Arreglo de paneles	48
Ángulo de inclinación (β)	50
Cálculo de la altura del arreglo	51
Determinar el ángulo de elevación y el azimut	52
Distancia de la sombra proyectada	53
Cálculo de inversor	55
Cálculo de caída de tensión	56
Cálculo de tubería CONDUIT	58
Cálculo de puesta a tierra	60
Equipos Requeridos	62
Diagrama unifilar	65
Distribución de planta	66
Diagrama SLP	67
Plano arquitectónico	68
Área disponible de distribución	69
Plan de ejecución de la obra	70
Estudio Financiero	71
Costos del Proyecto	71
Estudio de los Ingresos del Proyecto	73
Conclusiones	76
Referencias	77

Índice de tablas

Tabla 1.1 Censo de carga realizado al restaurante Jicarita	. 15
Tabla 1.2 Matriz causa efecto	. 17
Tabla 1.3 Matriz de efecto del problema	. 18
Tabla 1.4 Acciones para los medios identificados	. 21
Tabla 2.1 Historial de consumo	. 26
Tabla 2.2 Valores de las variables X e Y	. 28
Tabla 2.3 Valores calculados de Xi - Xm y Yi - Ym	. 29
Tabla 2.4 Proyección de la demanda	. 31
Tabla 3.1 Generación del arreglo fotovoltaico	. 34
Figura 1 Ubicación geográfica del sitio	. 40
Tabla 3.2 Método cualitativo por puntos en las zonas (A) Terraza, zona (B) Detra del edificio (nivel del terreno) para los paneles solares.	
Tabla 3.3 Censo de carga del restaurante Jicarita para el sistema con conexión red	
Tabla 3.4 Pérdidas generales de un arreglo Fotovoltaico	. 45
Tabla 3.5 Criterio de selección del sistema dependiendo del consumo diario	. 47
Tabla 3.6 Ángulo de inclinación (β)	50
Tabla 3.7 Relación entre el ICV y el AWG	. 57
Tabla 3.8 NÚMERO MÁX. DE CONDUCTORES ELÉCTRICOS EN TUBERÍA CONDUIT	. 59
Tabla 3.9 Tamaño mínimo de los conductores de puesta a tierra para canalizaci y equipos	
Tabla 3.10 Equipos y accesorios	. 63
Tabla 3.11 Orden de proximidad	. 66
Tabla 3.12 Código de razones	. 66
Tabla 4.1 Costos del Sistema fotovoltaico que se pretende instalar	. 72
Tabla 4.2 Costo promedio del kWh mensual y anual desde el año 2018 al 2021 .	. 74
Tabla 4.3 Ahorro generado por el proyecto en un periodo de 10 años	. 75

Índice de figuras

Figura 1.1 Árbol de causa efecto	19
Figura 1.2 Árbol de medios y fines	20
Figura 2.1 Actividad económica en Nicaragua	23
Figura 3.1 Altura del arreglo de los módulos.	51
Figura 3.2 ángulo de elevación y el azimut.	52
Figura 3.3 Dimensiones del arreglo FV	54
Figura 3.4 Diagrama unifilar del SFV	65
Figura 3.5 Diagrama SLP	67
Figura 3.6 Plano arquitectónico	68

Lista de Abreviaturas

Símbolo	Descripción
SFV	Sistema fotovoltaico
AWG	American Wire Gauge
L	Longitud entre cada punto de conexión.
С	Toma valor de 2 cuando es Ø1 o Ø2 en caso de ser Ø3=√3
е	Porcentaje de caída de tensión.
V	Voltaje nominal del sistema.
1	La intensidad de la corriente (A).
D	Distancia entre cada punto de conexión (m).
ICV	Calibre adecuado a usar.
%CV	Porcentaje de caída de tensión.
Eg	Energía Generada (Kwh).
Р	Potencia (w).
3.281	Unidad de conversión de pies a metros.
NPs	Paneles en serie.
NPp	Paneles en paralelo
Vns	Volteja del sistema en CC.
Vnp	Volteja del panel.
Pm	Potencia del panel (w).
NPs	Paneles en serie.
HSP	Horas solar pico (h).

Introducción

Actualmente, el mundo enfrenta una crisis energética. Los países industrializados consumen enormes cantidades de energía, por lo que no habrá suficiente energía en un futuro para cubrir las necesidades de la población mundial. El consumo es tan grande que la naturaleza tarda un millón de años en producir sedimentos fósiles y el hombre lo consume en poco tiempo.

Aproximadamente el 80% de la energía mundial está basada en los derivados de recursos no renovables como: el petróleo, el carbón y el gas natural. El petróleo está actualmente al límite de su producción, este es uno de los problemas que enfrentan los sistemas energéticos actuales, ocasionando precios muy altos en las tarifas energéticas, su combustión ocasiona contaminación tales como lluvias ácidas y el efecto invernadero. Es por esto que es imprescindible hacer un cambio en utilizar más fuentes de energías renovables.

Unas de las muchas opciones de la energía renovable es la energía solar, siendo la más abundantes en el planeta, lo que la convierte en una de las principales opciones para la producción de energía limpia. En los restaurantes el consumo de energía eléctrica depende de que tanconcurrido es y de las cargas instaladas, pero sin duda alguna el consumo no es bajo, por lo que resulta conveniente implementar medidas y/o acciones para reducir los costos de operación de los restaurantes.

La implementación de estos sistemas requiere de una gran inversión inicial, debido a los equipos a instalar que poseen un precio elevado, los estudios que se deben realizar para un aprovechamiento óptimo del sistema y el cumplimiento de las normas, certificaciones que deben de tener la adquisición de SFV(sistemas fotovoltaicos), hacen que muchas veces las personas prefieren no implementar estos sistemas, sin siquiera haber considerado su instalación y los beneficios que le puede ofrecer a largo plazo.

Aunque los SFV reducen el costo de la facturación de la energía eléctrica, se tienen que considerar diversos factores como: la energía total que se desea reducir, el tipo de generación que se va a implementar según las necesidades del consumidor y el factor con mayor relevancia es el capital disponible para llevar a cabo el proyecto.

La presente tesis propone el diseño de un sistema fotovoltaico para reducir el consumo de energía de la red en el restaurante Jicaritas ubicado en el municipio de Rivas

la tesis se desarrolló en dos capítulos, inicialmente se realiza un diagnóstico para determinar la situación actual del sistema eléctrico y las cargas instaladas en el restaurante, posteriormente una vez finalizada la etapa de diagnóstico se utilizó la información generada para proponer un diseño de sistema fotovoltaico con la cual se pretende dar solución a la problemática que actualmente se presenta en el restaurante Jicaritas.

Objetivos

Objetivos Generales

• Diseñar un Sistema Fotovoltaico para reducir el consumo de energía de la red en el restaurante Jicarita.

Objetivos Específicos

- Realizar un diagnóstico sobre la situación actual del sistema eléctrico y las cargas instaladas en el restaurante Jicarita.
- Proponer el diseño de un sistema fotovoltaico para el restaurante Jicarita basado en los datos recopilados durante el diagnóstico de la situación actual.

Antecedentes

Un proyecto relacionado sobre los sistemas fotovoltaicos corresponde a Sánchez Oscar y Muñoz Miguel (2017), quienes realizaron el "Diseño de un sistema fotovoltaico conectado a red para la empresa BATNICSA en el periodo 2016-2017", para optar al título de ingeniería electrónica en la universidad nacional autónoma de managua (UNAM). En dicha investigación se abordaron conceptos sobre la energía solar e información referente a los sistemas fotovoltaicos, las normativas y leyes existentes en el país relacionadas con los SFV y se realizó un diagnóstico de la situación actual en la empresa BATNICSA.

El enfoque principal de esta investigación realizada por estos estudiantes es el diseño de un sistema fotovoltaico conectado a red para reducir los costos del consumo energético de la empresa BATNICSA, y para alcanzar dicho objetivo se propusieron como objetivos específicos el realizar un censo de carga de todos los equipos conectados a la red eléctrica de la empresa BATNICSA, diseñar el sistema fotovoltaico en red a partir del consumo real de carga de la empresa BATNICSA y simular el sistema fotovoltaico propuesto con el programa pysyst.

Entre las conclusiones alcanzadas con este trabajo destacan la importancia de realizar el diagnóstico de la situación actual para determinar si la instalación cuenta con las condiciones necesarias para la instalación del SFV y que a través del trabajo realizado se logró determinar el costo total del SFV, el cual incluía los costos de materiales y mano de obra.

Esta investigación se relaciona con el proyecto a tratar en el presente trabajo, porque ambos tienen como objetivo principal reducir los costos de la factura eléctrica a través de la instalación de un SFV, de este trabajo se obtuvo información útil tales como las leyes y una referencia de cómo realizar el diagnóstico de la situación actual en las instalaciones.

En Nicaragua unas de las preocupaciones es el alto costo de la energía eléctrica producida a través del petróleo y sus derivados. En la actualidad depende en un 60% a comparación de unos 20 años atrás que dependíamos en un 90% de este recurso, la implementación de energía solar resulta ser hasta 80% más barata, que la energía generada por búnker, pese a esto en Nicaragua solo el 2% de la demanda energética es solventada con ese tipo de energía, según estadísticas del Ministerio de Energía y Minas (MEM). Incluso si la comparamos con las otras fuentes generadoras de uso renovable, es la más baja.

El precio promedio del kWh de energía solar es de 0.06 dólares, mientras que la energía térmica oscila entre 0.16 y 0.30 dólares el kWh, de acuerdo a cálculos basados por el Consejo Nacional de Energía (CNE) y MEM.

El especialista en Energía Renovable Vladimir Delagneau explicó que la energía solar se puede utilizar para producir energía eléctrica por medio de paneles solares. "La energía solar tiene dos usos: uno para aplicaciones rurales que son fuera de red, es decir, paneles solares con baterías para casas que no tienen energía eléctrica y dos, la conectada a la red que se usa en el área urbana que es la que está teniendo mayor uso", aseveró Delagneau. Además, apuntó que entre más grande sea la planta solar y la tarifa sea más alta la recuperación de la inversión es más rápida.

La tendencia, según especialistas, es que los equipos fotovoltaicos vayan bajando de precio. "Los paneles han bajado un 70% u 80% y el resto de componentes del sistema en un 40%", dijo Max Lacayo, vicepresidente de la Asociación Renovables de Nicaragua. En el periodo 2012-2016 se dará continuidad al esfuerzo por el ahorro y eficiencia energética en el país, con la entrada en vigencia de 5 Normas Técnicas Obligatorias Nicaragüenses (NTON) de eficiencia energética, de las 7 aprobadas por el Ministerio de Energía y Minas (MEM) con la colaboración del Ministerio de Fomento, Industria y Comercio (MIFIC). Esto para restringir

la introducción al país a aquellos equipos que no cumplan con las especificaciones de eficiencia en el consumo eléctrico.

En el año 2022 cada semana Nicaragua inaugura uno o dos proyectos rurales de electrificación, dejando atrás años de oscuridad y augurando un mejor por venir para las familias protagonistas comunicado por ENEL 04-MAY-2022.

En comunidades de difícil acceso, principalmente las ubicadas en la Costa Caribe, el Gobierno de Reconciliación y Unidad Nacional (GRUN) lleva la energía eléctrica por medio de paneles solares. Un tipo de energía renovable conocida como energía fotovoltaica que se obtiene de una fuente natural e inagotable, en este caso el Sol. En este sentido, el GRUN prevé instalar durante las 2022 tres plantas fotovoltaicas que totalizan 48 Megavatios (MW) y más 13,500 paneles solares en la Costa Caribe y Río San Juan, según datos del Ministerio de Energía y Minas (MEM).

Con los 48 MW de las tres plantas que entraran a operar este año, Nicaragua alcanzará una capacidad instalada de 60 MW con esta fuente de energía limpia. Actualmente, el país cuenta con 4 plantas solares: Planta Solar La Trinidad en Diriamba (1.5 MW), Solaris en Puerto Sandino (12 MW), San Juan de Nicaragua (300 kW) y Corn Island con 2.5 (MW). En cuanto a la instalación de paneles solares, los 13 mil 500 que se instalarán en la Costa Caribe Norte, Costa Caribe Sur y Río San Juan, representan en megavatios 8.1 MW. Con estos más los ya instalados en viviendas y Empresas para su autoconsumo, sumarían cerca de los 100 MW.

A inicios del 2022 el titular del MEM, ing. Salvador Mansell, señaló que la Empresa China Comunications Construction Company Limited invertirá US\$ 106.1 millones en el proyecto solar El Hato, en Terrabona, departamento de Matagalpa, como resultado del restablecimiento de las relaciones diplomáticas entre Nicaragua y el "gigante asiático" en diciembre del 2021.

Justificación

El diseño está orientado para la instalación eléctrica del restaurante Jicarita ubicado en el municipio de Rivas. El lugar donde se instalará el sistema fotovoltaico es una zona predominante de la luz solar factible para el desarrollo de este tipo de proyectos, de esta manera se va a contribuir al ahorro energético del restaurante, así mismo se concientizará al personal sobre el uso razonable de la energía y, además, se disminuirá la dependencia del uso de la energía comercial.

En otras palabras, con el diseño del sistema fotovoltaico de inyección a la red para el restaurante se logrará disminuir los costos económicos generados por el alto consumo de energía eléctrica, aportando así a las utilidades que el negocio obtiene mensualmente.

Es importante destacar que con este diseño se estará aprovechando la generación de energía de fuentes renovables mediante sistemas fotovoltaicos, contribuyendo así al cuido de nuestro medio ambiente y, además, a ir cambiando la matriz energética del uso de combustibles fósiles.

Hay que señalar que este tipo de sistema no requiere de mucho mantenimiento por lo que la integración de un SFV para suministrar energía eléctrica es de gran beneficio para la reducción de costos económicos en el restaurante.

Por último, es importante mencionar que la energía fotovoltaica es una de las alternativas más viales de aprovechar ya que la fuente de luz solar está en todas partes y de esa manera se podría llevar energía a los lugares más remotos del país.

Problemática

El restaurante Jicarita es un establecimiento culinario ubicado en el municipio de Rivas, al costado sur del estadio de beisbol profesional Yamil Ríos Ugarte. En dicho establecimiento hay gran presencia de cargas eléctricas, de las cuales algunas se utilizan de manera ininterrumpida y otras, pero dan como resultado una gran carga instalada.

Además, el sistema de iluminación del restaurante está compuesto de lámparas fluorescentes que se mantiene encendidas la mayor parte del tiempo, por no decir que, durante toda la jornada aboral, ya que la entrada de iluminación natural es casi nula, a excepción de la parte frontal, que es el único lugar donde hay ventanales que permiten el ingreso de iluminación natural. El restaurante para el lavado de los utensilios de cocina utiliza agua caliente, la cual la obtienen a través de un calentador eléctrico, esto para asegurar un lavado impecable y garantizar la calidad dela limpieza a sus clientes, además de que el lavado con agua caliente requiere de un menor consumo de agua por remover con mayor facilidad las grasas de los utensilios.

Como resultado de toda esta situación, el consumo de energía eléctrica es realmente alto, teniendo un consumo mayor a los 1000 kWh al mes la mayor parte del tiempo. Sumado a este hecho, durante los últimos años el costo de la energía ha ido en aumento, causando que los recibos por el servicio eléctrico del local sean bastante altos, reduciendo de cierta manera las utilidades que el negocio obtiene mes a mes.

Debido a esto, se requiere encontrar una solución lo más pronto posible para mejorar la situación que experimenta actualmente el restaurante. Por todo lo anterior, consideramos que el problema que enfrenta el restaurante se puede definir entonces como "Alto consumo de energía eléctrica".

Diagnóstico de la situación

Como parte del diagnóstico es necesario conocer algunos detalles sobre el entorno de la localidad del proyecto, anteriormente se indicó que se realizará en la zona sur del municipio de Rivas, en el restaurante Jicarita.

En esta zona el clima del país según (Weather Spark, 2022), en Rivas, la temporada de lluvia es nublada; la temporada seca es parcialmente nublada y es muy caliente, opresivo y ventoso durante todo el año. Durante el transcurso del año, la temperatura generalmente varía de 23 °C a 32 °C y rara vez baja a menos de 21 °C o sube a más de 33 °C.

La velocidad promedio del viento en esta región va desde los 15.9 km/h en el mes más calmo hasta una velocidad de 28.9 km/h durante el mes más ventoso, dando como resultado una velocidad promedio anual de 22.2 km/h.

La radiación solar promedio presenta variaciones leves por cada estación con un índice bastante alto. Durante la temporada de mayor radiación que dura 2.3 meses la energía de onda corta promedio diario por metro cuadrado supera los 6.7 kWh, mientras que en el periodo más obscuro con una duración de 5.4 meses el promedio llega a los 4.5 kWh.

Conociendo las características de la ubicación del proyecto, resulta importante saber cuáles son las condiciones del establecimiento. Para esto se le solicito información directamente al dueño del restaurante, de dónde se identificó que el restaurante opera con voltajes de 120/240 V y que el tipo de tarifa que contratada por el restaurante es la de consumo general mayor, conocida como tarifa T2 por su código, la cual está destinada para establecimientos con una carga instalada mayor a 25 kW, presenta un cargo por kWh de consumo constante y uno que depende de la demanda máxima.

Se realizo un censo de carga en el restaurante en el cual se incluyeron las horas de uso promedio diario de todas las cargas para estimar la carga instalada y el consumo diario. Con esta información es posible identificar cuáles son las cargas con mayor aporte al consumo de energía eléctrica en el restaurante.

Tabla 1.1 Censo de carga realizado al restaurante Jicarita.

Fuente: Elaboración propia.

Cargas	Cantid	Voltaje	Corrient	Potencia	P total	H/us	Días/Se	÷7	kWh
individuales	ad	(V)	e (A)	(W)	(W)	0	m.	Dias	Prom/día
Exprimidor de jugo	2	240	0.625	150	300	1.5	6	7	0.386
Máquina de Café	1	240	4.17	1000	1000	2	6	7	1.714
Congelador	1	240	1.60	385	385	24	7	7	9.240
Refrigeradora	1	240	0.77	185	185	24	7	7	4.440
Licuadoras Oster	2	240	2.5	600	1200	2.5	6	7	2.571
1.5L									
Microondas	1	240	4.17	1000	1000	3	6	7	2.571
Lum. 3 T5 14w y	14	240	0.38	92	1288	10	6	7	11.040
Balastro 50w									
Lum. 2 T5 14w y	8	240	0.27	64	512	10	6	7	4.389
Balastro 36w									
Lum. 2xCompacta	18	120	0.33	40	720	10	6	7	6.171
Integrada 20w									
Lum. 1xCompacta	5	120	0.125	15	75	3	3	7	0.096
Integrada 15w									
Extractor de humo	1	120	2	240	240	8	6	7	1.646
Computadoras	2	120	1.54	185	370	10	6	7	3.171
TV de 30"	2	120	0.88	105	210	5	6	7	0.900
Calentador de Agua	1	120	40.00	4800	4800	2.5	6	7	10.286
Impresora HP Laser	1	120	2.71	325	325	2	6	7	0.557
Total				9186	12610				59.179

consumo de energía, seguida del calentador de agua, por lo que es primordial darles especial atención a estas cargas y considerarlas a la hora de plantear las alternativas de solución.

También se observa que la carga instalada es de 12.61 kW, resultando ser menor que la recomendada para el tipo de tarifa que tiene contratada.

También se utilizó un multímetro para realizar mediciones en los tomacorrientes de las distintas cargas y el panel, para identificar si existían contactos a tierra y tensiones perjudiciales para el sistema. En el panel eléctrico también se realizaron pruebas a las protecciones de los circuitos derivados, en las cuales se encontró que están en estado óptimo.

Análisis de causas y efectos.

Gracias al diagnóstico de la situación del restaurante identificar las posibles causas del problema principal resulta más fácil. De la información recopilada con el estudio y la brindada por el personal del restaurante se obtuvieron las siguientes causas:

Tabla 1.2 Matriz causa efecto

Fuente: Elaboración propia

Problema	Causas	Directa (DI) o
		Indirecta (ID)
	Gran consumo de energía de parte del calentador de agua.	DI
Alto consumo	Escasa iluminación natural en el restaurante.	ID
de energía eléctrica.	Gran consumo de energía por parte del sistema de iluminación.	DI
	Uso irracional del sistema de iluminación.	ID

Así como el problema principal tiene múltiples causas que conducen a su existencia, también existen diversos efectos en el restaurante que son producto de dicho problema. Los efectos que se derivan del problema principal se presentan en la matriz de efectos.

Tabla 1.3 Matriz de efecto del problema

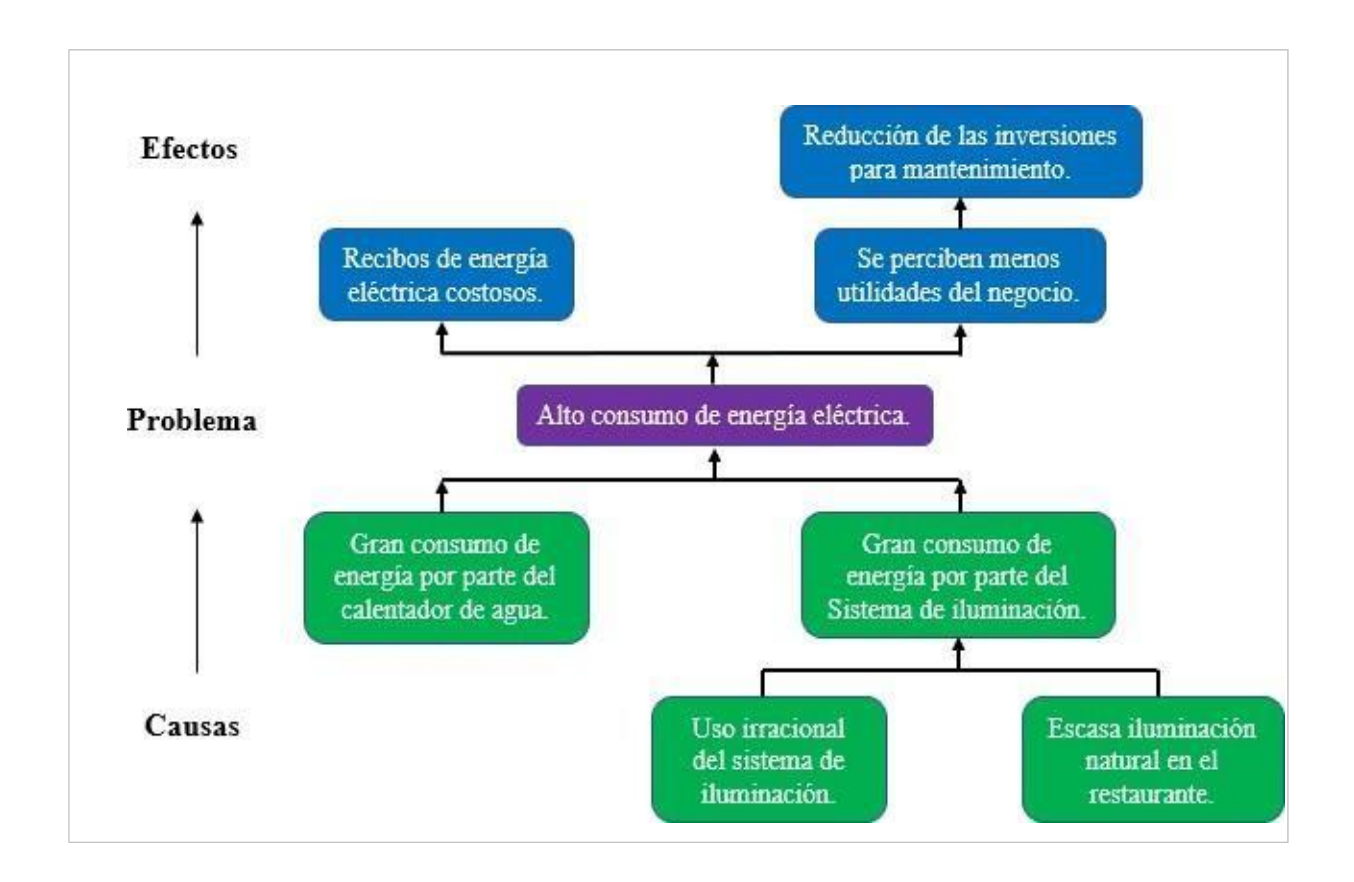
Fuente: Elaboración propia

Efectos	Directa (DI)
	0
	Indirecta
	(ID)
	DI
Altos recibos de energía.	
Reducción de las inversiones para el	DI
mantenimiento del local.	
Se perciben menos utilidades en el negocio.	ID
or por one or money annual days on or mogoritor	

A continuación, se presenta el árbol del problema que se obtuvo (ver figura 1.1):

Figura 1.1 Árbol de causa efecto

Fuente: Elaboración propia



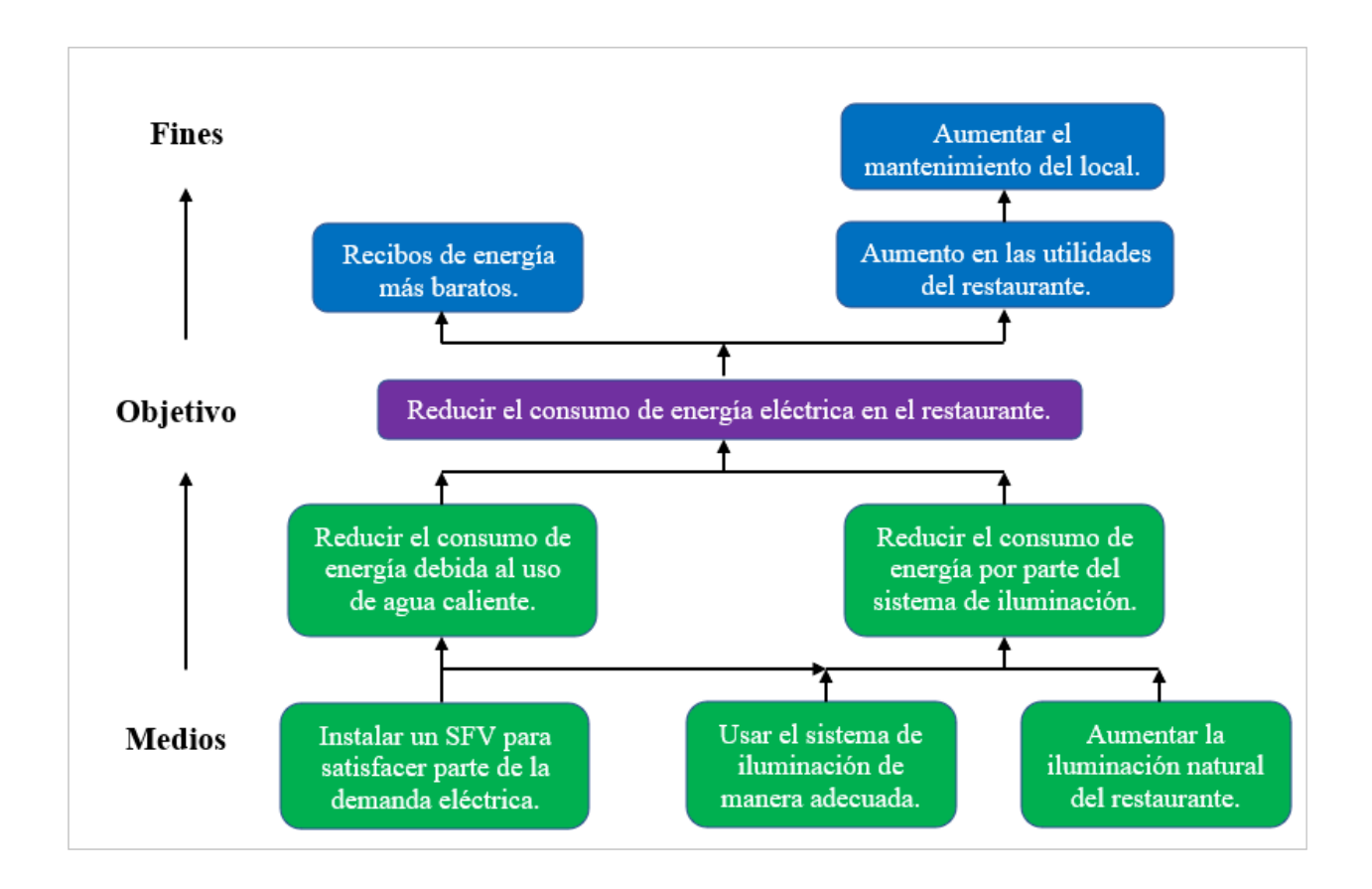
Análisis de los medios y fines.

Para encontrar el camino de solución del problema es necesario identificar cuáles son las herramientas o medios de que se disponen, y a su vez tener claro que es lo que se quiere lograr al hacer uso de ellos.

Como una estrategia para identificar los medios y los fines del proyecto se pasan a positivo las causas y los efectos que se mostraron en el árbol del problema. Los resultados de utilizar esta estrategia se presentan en el árbol de medios y fines (ver figura 1.2).

Figura 1.2 Árbol de medios y fines

Fuente: Elaboración propia



Alternativa de solución.

Los medios son el vehículo a través del cual se le da solución a las causas que forman el problema central por medio de determinadas acciones. Por ende, para los medios definidos en el árbol de medios y fines (Ver figura 1.2), debe de plantearse cuales son las acciones que conforman la ruta de solución de estas causas. Las acciones identificadas para los medios supuestos se muestran en la tabla 1.4.

Tabla 1.4 Acciones para los medios identificados

Fuente: Elaboración propia

Medios	Acciones Identificadas
Reducir el consumo de energía debida al uso de agua caliente.	 Instalar un calentador de agua solar para reemplazar el calentador eléctrico. Instalar un SFV para la alimentación del calentador de agua.
Reducir el consumo de energía por parte del sistema de iluminación.	 Reemplazar la tecnología de iluminación fluorescente por tecnología LED. Instalar un SFV para la carga de iluminación.
Usar el sistema de iluminación de manera adecuada.	 Instalar censores de presencia para evitar que la iluminación este encendido cuando no es necesario. Realizar charlas para el personal sobre la importancia del uso racional del sistema de iluminación.
Aumentar la iluminación natural del restaurante.	 Realizar obras civiles en el restaurante que permitan un mayor ingreso de iluminación natural en el restaurante.

Estudio de mercado.

El proyecto inicialmente pretende plantear el potencial que tienen los sistemas fotovoltaicos que hay actualmente en el mercado nacional, si se instalan en el restaurante Jicarita ubicado en el departamento de Rivas, esto por el gran potencial que estos pueden ofrecer dadas las características que ofrecen las zonas del pacifico de Nicaragua, al tener un índice solar de aproximadamente de 5.7h/solar pico.

De esta manera, es posible identificar los riesgos que pueden tener esta tecnología para ser implantada correctamente, determinar la situación del mercado (oferta y la demanda, que para este proyecto se traducen el consumo de potencia y el ahorro que se puede obtener en potencia al aplicar estos sistemas), y dar de manera óptima el servicio a prestar.

Estructura económica del país.

Nicaragua cuenta con una economía pequeña y abierta que depende en gran medida de la agricultura y la manufactura. El sector primario tiene un papel muy importante en la economía nicaragüense, ya que este ocupa aproximadamente al 30% de la población, lo cual se traduce en una gran cantidad de empleos; y los aportes de este sector al PIB representan aproximadamente un aporte del 15.9%, destacando la agricultura y la ganadería como principales activades económicas de este sector.

El sector secundario está liderado por la actividad de la industria manufacturera y el sector de construcción, otro sector que también presenta un desempeño importante en la economía del país es el sector energético, además el sector minero en los últimos años ha tenido un crecimiento positivo, gracias a la mayor demanda internacional de minerales y a los altos precios de las materias primas que propiciaron una expansión de las actividades de explotación minera. En general este sector presenta un aporte del 19% al PIB.

El sector terciario representa el 50.5% del PIB aproximadamente, donde predominan los servicios de escasa complejidad cuyo peso en la economía nicaragüense ha venido aumentando, tanto en la generación de empleo, como en su valor agregado. Cabe destacar que casi la mitad de los trabajadores son ocupados por este sector y que las actividades que más destacan son el comercio y las de transporte y telecomunicaciones.

En materia de comercio internacional, el país se caracteriza por exportar principalmente productos como la carne, café, lácteos, cacao, etc. Cabe señalar que el país realiza importaciones de lo que exporta, dejando un saldo deficitario en la balanza comercial. Esto se debe principalmente a que el país requiere de importar productos para cubrir algunas de las necesidades para el desarrollo del país.

En la siguiente figura 2.1 se muestra la distribución de las actividades económicas del sector primario en las distintas regiones del país, donde se logra apreciar la gran presencia de este en la economía del país.

Economic Activity INDUSTRY Food processing Beverages 80 1 Textiles and clothing Chemical products Metal products Leather products Petroleum refining Fishing Crude oil pipeline AGRICULTURE Coffee Cotton Sugarcane Lago de Nicaragua

Figura 2.1 Actividad económica en Nicaragua

Fuente: Elaboración propia

Instrumento de política económica.

En Nicaragua se promueve la adaptación de las energías limpias para el consumo de la población, prueba de esto lo es la ley No. 532, ley para la Promoción de Generación Eléctrica con Fuentes Renovables, en la cual se precisa en su capítulo 2, articulo 7. Incentivos, en el apartado 2 se especifica que los elementos constituyentes de un proyecto de energías renovables se encuentran libres de impuesto.

Si es un sistema de autoconsumo se cuenta con la normativa de generación distribuida renovable para autoconsumo acuerdo ministerial N°. 063-DGERR-002-2017 considerado por el Ministerio de Energías y Minas según el art. 22 de la Ley No. 272, "Ley de la Industria Eléctrica". Que tiene por objeto establecer los requisitos, criterios, procedimientos, metodologías y responsabilidades administrativas, técnicas y comerciales que deben cumplir las Empresas Distribuidoras de Energía Eléctrica y las personas naturales o jurídicas que tengan o proyecten la instalación de generación de energía eléctrica del tipo renovable para Autoconsumo conectadas a un sistema de distribución.

Con la calificación GDR-BT2: BT, instalaciones de más de 2 kW, se debe de notificar a la distribuidora, para que determinen el Dictamen de la Factibilidad Operativa, el cual deberá ser notificado a la parte interesada a más tardar 20 días calendario para sistemas GDR, para instalar un medidor bidireccional, con el fin de regular la inyección a la red.

Descripción del producto o servicio.

Se pretende instalar un sistema fotovoltaico con inyección a la red que genere una potencia eléctrica útil igual a un cierto porcentaje de la demanda de energía promedio estimada en el censo de carga presentado (ver la tabla 1.1).

Un sistema fotovoltaico de este tipo está compuesto de un conjunto de aparatos conectados entre sí y que a la vez se complementan para poder convertir la energía que se obtiene de la radiación solar en energía eléctrica útil para el consumo. Los aparatos que componen este sistema son:

Paneles Solares

Es el elemento de la instalación encargado de recibir la energía contenida en la radiación solar y convertirla en energía eléctrica de corriente continua por medio del efecto fotovoltaico que se presenta en las celdas solares, dichas celdas son construidas con materiales semiconductores, usualmente se utiliza silicio.

Inversor

La energía requerida por las cargas del sistema suele ser energía eléctrica de AC, sin embargo, la producida por los paneles es DC, para que dicha energía pueda ser utilizada por las cargas se instala un inversor de corriente, este es un dispositivo que utiliza la electrónica de potencia para convertir la corriente de DC a AC. Este equipo resulta indispensable en la instalación cuando todas las cargas son de corriente alterna

Medidor Bidireccional

Es un equipo capaz de registrar la cantidad de energía que se está consumiendo de la red y la que se inyecta a esta al mismo tiempo.

Beneficiario del proyecto

Al ser un proyecto de inversión privada, cuyo objetivo es el de reducir los gastos por consumo eléctrico en el restaurante, el único beneficiario directo de este proyecto es el dueño del capital a invertir, es decir, el dueño del restaurante.

Se puede interpretar como beneficiarios indirectos a la empresa que oferte todos los insumos necesarios para llevar a cabo el proyecto, tales como Tecnosol S.A, Ecami S.A, NicaSolar S.A, SolarTech S.A, etc. Esto porque se tendrán que adquirir los productos a través de uno de estos oferentes, lo cual se traduce en una venta para los mismos.

Demanda.

La demanda hace referencia a la cantidad de bienes o servicios que los consumidores están dispuestos a adquirir para satisfacer sus necesidades, por medio de una transacción en la que el intercambio se da un precio aceptado tanto por el oferente como el demandante (Urbina, 2010).

Adaptando el concepto de la demanda a las necesidades del restaurante, se entenderá como demanda el consumo en kWh del restaurante, siendo este un dato interno del establecimiento, al cual se logró obtener acceso gracias al personal administrativo del local. Estos datos se presentan en la tabla 2.1 como parte del historial de consumo del restaurante.

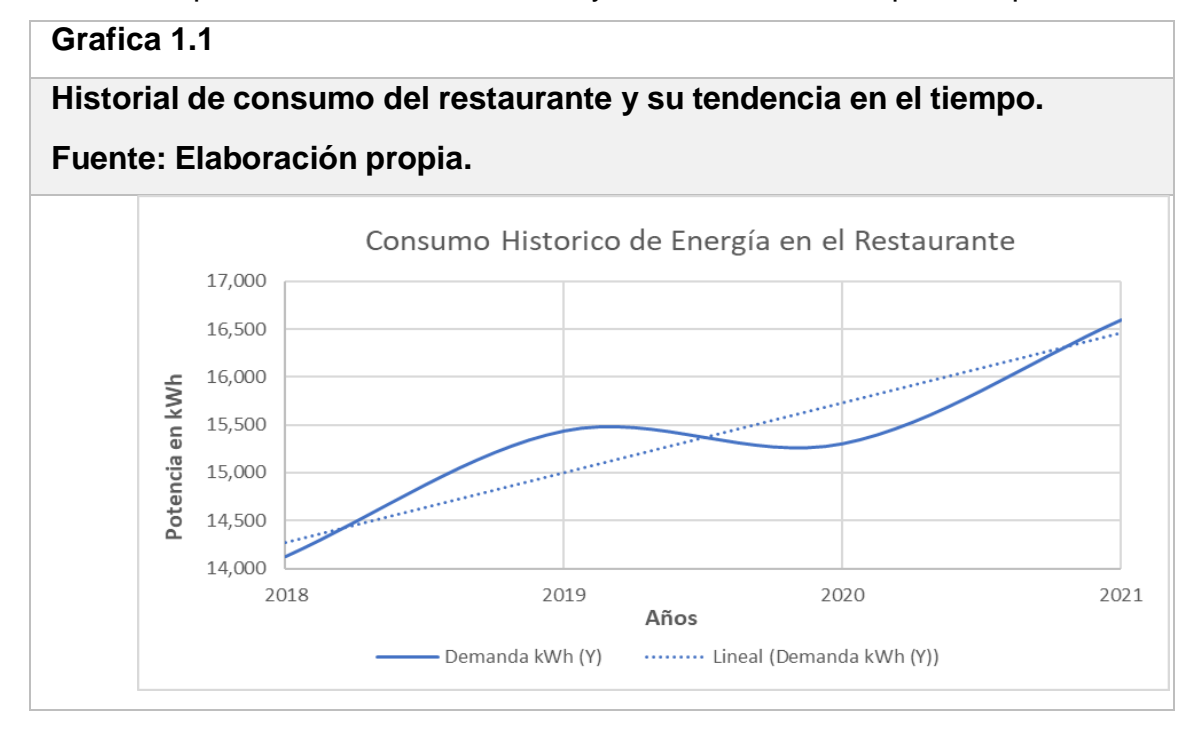
Con los datos recopilados se puede observar que la demanda del restaurante crece con el tiempo, lo cual demuestra el crecimiento constante del restaurante en los últimos años, ya que se considera que la demanda es una función de que tantos clientes visitan el establecimiento al mes.

Tabla 2.1 Historial de consumo

Fuente: Elaboración propia

Meses de	Consumo en el	Consumo en el	Consumo en el	Consumo en el
Consumo	año 2018	año 2019	año 2020	año 2021
Enero	1,594.25	1,508.64	1,575.32	1,625.54
Febrero	1,038.40	1,105.90	1,194.62	1,215.42
Marzo	1,482.24	1,525.54	1,582.74	1,611.32
Abril	1,139.51	1,354.19	1,228.83	1,338.17
Mayo	1,064.92	1,135.47	1,185.31	1,295.60
Junio	995.82	1,084.21	1,062.62	1,128.46
Julio	1,020.78	1,115.33	1,100.55	1,264.87
Agosto	980.27	1,120.31	1,050.84	1,200.29
Septiembre	1,025.60	1,111.29	1,165.61	1,304.65
Octubre	1,058.10	1,251.97	1,210.58	1,315.42
Noviembre	1,102.84	1,330.40	1,296.50	1,422.87
Diciembre	1,621.15	1,794.32	1,650.45	1,875.37
Total	14,123.88	15,437.57	15,303.97	16,597.98

La gráfica 1.1 realizada en base a los datos del consumo histórico del restaurante, muestra el comportamiento de la demanda y la tendencia lineal que esta posee.



Proyección de la demanda.

Para realizar la proyección de la demanda del restaurante se utilizará el método de mínimos cuadrados. Urbina (2010) sobre este método de proyección afirma lo siguiente:

Consiste en calcular la ecuación de una curva para una serie de puntos dispersos sobre una gráfica, curva que se considera el mejor ajuste, el cual se da cuando la suma algebraica de las desviaciones de los valores individuales respecto a la media es cero y cuando la suma del cuadrado de las desviaciones de los puntos individuales respecto a la media es mínima. (p. 18).

Para dicho método el tipo de curva más sencilla para aproximar es línea recta. Para poder utilizar este método debe de existir un cierto grado de linealidad entre las variables de estudio, para determinar la intensidad con la que se relacionan linealmente las 2 variables tomadas se debe calcular el coeficiente de correlación, este coeficiente proporciona una medida cuantificada que

toma valores entre -1 y 1, cuya interpretación dicta que entre más se aleje el valor de cero las variables tienen una relación más lineal, y viceversa.

La fórmula del coeficiente de correlación es la siguiente:

$$r = \frac{\sum [(x_i - X_m)(y_i - Y_m)]}{\sqrt{\sum (x_i - X_m)^2 * \sum (y_i - Y_m)^2}}$$
 Ec.2.1

Donde:

r = Coeficiente de correlación (-1 a
1) xi = Valores de la variable X.
Xm = media de los valores de la variable X.

yi = Valores de la variable Y.

Ym = media de los valores de la variable Y.

A continuación, se calcula el valor del coeficiente de correlación de las variables tiempo y demanda.

$$X = \frac{1+2+3+4}{2} = 2.5$$
 $Y = \frac{14123.88+15.437.57+15303.97+16597.98}{4} = 15365.85$

Tabla 2.2 Valores de las variables X e Y.

Fuente: Elaboración propia.

1	14,123.88
2	15,437.57
3	15,303.97
4	16,597.98

Tabla 2.3 Valores calculados de Xi - Xm y Yi - Ym.

Fuente: Elaboración propia.

1	14,123.88	-1.5	-1,241.97
2	15,437.57	-0.5	71.72
3	15,303.97	0.5	-61.88
4	16,597.98	1.5	1,232.13

$$\sum [(x_i - X_m)(y_i - Y_m)] = (-1.5)(-1241.97) + (-0.5)(71.72) + (0.5)(-61.88) + (1.5)(1232.13) = 3644.35$$

$$\sum (x_i - X_m)^2 = (-1.5)^2 + (-0.5)^2 + (0.5)^2 + (1.5)^2 = 5$$

$$\sum (y_i - Y_m)^2 = (-1241.97)^2 + (-71.72)^2 + (-61.88)^2 + (1232.13)^2 = 3069606.71$$

$$r = \frac{3644.35}{\sqrt{(5)(3069606.71)}} = 0.93$$

Como r es muy cercano a 1, las variables de demanda y tiempo tienen un comportamiento bastante lineal, se puede interpretar que al pasar de cada año

Para pronosticar la demanda se utilizará el método de regresión lineal, este es un método utilizado para obtener la ecuación de una recta cuyos coeficientes a y b estén en función de los datos históricos contenidos en las variables x e y. El cálculo realizado para obtener los coeficientes a y b son los siguientes:

$$a = \frac{\sum X^2 \sum Y - \sum X \sum XY}{n \sum X^2 - (\sum X)^2}$$
 Ec.2.2

$$b = \frac{n \sum XY - \sum X \sum Y}{n \sum X^2 - (\sum X)^2}$$
 Ec.2.3

$$\sum X^2 = 1^2 + 2^2 + 3^2 + 4^2 = 30$$
 $\sum X = 1 + 2 + 3 + 4 = 10$

$$\sum Y = 14123.88 + 15437.57 + 15303.97 + 16597.98 = 61463.4$$

$$\sum XY = (1)(14123.88) + (2)(15437.57) + (3)(15303.97) + (4)(16597.98) = 157302.85$$

$$a = \frac{(30)(61463.4) - (10)(157302.85)}{(4)(30) - (10)^2} = 13543.68 \frac{(4)(157302.85) - (10)(61463.4)}{b} = 728.87$$

La ecuación de la recta de proyección obtenida a través de la regresión lineal es Y = 13,543.68 + 728.87X.

En la tabla 2.4 se muestran los resultados de la proyección de la demanda a 10 años en el futuro, los primeros 4 valores corresponden a los años cuyo consumo se usó de antecedente para el cálculo, estos difieren de los mostrados anteriormente porque son los obtenidos a través de la ecuación de proyección de la demanda. Sin embargo, el error observado con respecto a los valores reales de estos 4 años es mínimo, lo cual sirve como indicador de que la ecuación representa bastante bien el comportamiento de la demanda en el tiempo.

Tabla 2.4 Proyección de la demanda

Años	2018	2019	2020	2021	2022	2023	2024
Tiempo en	1	2	3	4	5	6	7
años (X)							
Demanda kWh	14272.54	15001.415	15730.285	16459.155	17188.0	17916.8	18645.7
(Y)	5				25	95	65
Años	2025	2026	2027	2028	2029	2030	2031
Tiempo en	8	9	10	11	12	13	14
años (X)							
Demanda kWh	19374.63	20103.505	20832.375	21561.245	22290.1	23018.9	23747.
(Y)	5				15	85	855

Oferta.

Por oferta se entiende a la cantidad de productos o servicios que un productor está dispuesto a colocar en el mercado a un determinado precio, que se ve afectado por la relación que existe entre este y la demanda (Urbina, 2010).

El sistema fotovoltaico que se pretende instalar en el restaurante se espera que genere energía suficiente como para alimentar las siguientes cargas del sistema:

• Iluminación.

Computadoras.

Licuadora.

TV.

Exprimidor de jugo.

Impresora

 Extractor de humo.

Estas cargas representan un consumo estimado de 30.81 kWh al día, o un 52.26% del consumo diario de la instalación.

Cabe recalcar que como el sistema se pretende diseñar con una potencia de generación útil igual a la que representan las cargas mencionadas anteriormente, la potencia real generada dependerá de las condiciones climáticas del día a día, pudiendo esta ser mayor o ligeramente inferior, ya que un SFV se diseña tomando como base la radiación solar del día más bajo.

En el mercado nacional las empresas que proporcionan los servicios requeridos para llevar a cabo este proyecto son varias, entre ellas se encuentran empresas como Tecnosol S.A., SolarTech

S.A y Ecami S.A. con varios años de experiencia en el mercado, por lo cual no se puede considerar que la oferta de este tipo de servicio de parte de la competencia sea del 0%. Sin embargo, para el caso de estudio se considera que la oferta de parte de dichos competidores es nula porque el dueño del restaurante nos ha concedido los derechos del proyecto.

Demanda potencial insatisfecha DPI.

La demanda potencial insatisfecha es aquella parte de la demanda que existe o existirá en un futuro en el mercado, pero que no puede ser satisfecha por el mercado debido a que por diversas circunstancias la oferta de los productores en el mercado es menor que la demanda (Urbina, 2010). Dado que el SFV se diseñará para solventar una demanda de 30.81 kWh al día, la demanda potencial insatisfecha del restaurante se traduce como aquella parte de la energía consumida por el restaurante que no es generada por el sistema, en otras palabras, es aquella parte de la energía consumida que es igual a la diferencia de la energía consumida con la energía generada.

Cabe destacar que el rendimiento de los paneles solares decrece con el tiempo mientras que la demanda en el restaurante incrementa. Por razones de consideraciones tomadas en el diseño de los SFV y climáticas no es posible realizar una proyección aceptable de la DPI. Entre los motivos se encuentra que el sistema se diseña en base al día de menor radiación solar en la zona, por lo que la generación en los primeros años en realidad será mayor al valor tomado como referencia del censo de carga, además la radiación solar no es igual todos los años, y los valores promedio para cada año no se pueden estimar por depender de las condiciones meteorológicas.

En la gráfica 2.3 se muestra la curva de rendimiento de los paneles solares, en la cual la curva de color rojo representa el rendimiento del panel solar, mientras que la de color negro el rendimiento de otras marcas.

Estudio técnico.

Tamaño de planta.

El tamaño de la instalación estará dictaminado por los equipos que serán utilizados en el restaurante, estos a su vez, dependen de la capacidad de generación de la energía, por lo que es importante conocer la demanda potencial insatisfecha, y el porcentaje que será cubierto por la planta.

Volumen de generación.

Para determinar el volumen de generación que brindara nuestro SFV nos basamos con el censo de carga (ver tabla 1.1) que nos brinda la información de cuánto tiempo cada equipo pasa conectado en el local, con los calcular previamente establecidos se determinara el volumen del arreglo en el caso para la inyección a la red. La siguiente tabla 3.1 se observa la generación que va proporcionar el arreglo al restaurante.

Tabla 3.1 Generación del arreglo fotovoltaico

Fuente Elaboración propia

Meses	Hora	Meses	Generación	Generación
	Sol	Sola	Diaria	Mensual
	ar	r	(KwH/Día	(KwH/Mes)
	Pic	Pico)	
	O			
Enero	5,49	170,19	43.04	1,334.29
Febrer	6,09	170,52	47,74	1,336.88
0				
Marzo	6,36	197,16	49,86	1,545.73
Abril	5,99	179,7	46,96	1,408.85
Mayo	5,01	155,31	39,29	1,217.63
Junio	4,6	138	36,06	1,081.92
Julio	4,41	132,3	34,57	1,037.23

Agost	4,8	148,8	37,63	1,166.59
0				
Septiem	5,16	154,8	40,45	1,213.63
bre				
Octubr	4,97	154,07	38,96	1,207.90
е				
Noviem	5,04	151,2	39,52	1,185.41
bre				
Diciem	5,25	162,75	41,16	1,275.96
bre				
			Generación	15,012
			Anual	

Macro localización.

Para la determinación de la localización óptima de la instalación se llevará a cabo la implementación del método cualitativo por puntos, donde se evaluaron factores cuantitativos, como los costos de transporte de material y del producto terminado, y también los f actores cualitativos, tales como apoyos fiscales, el clima y otros.

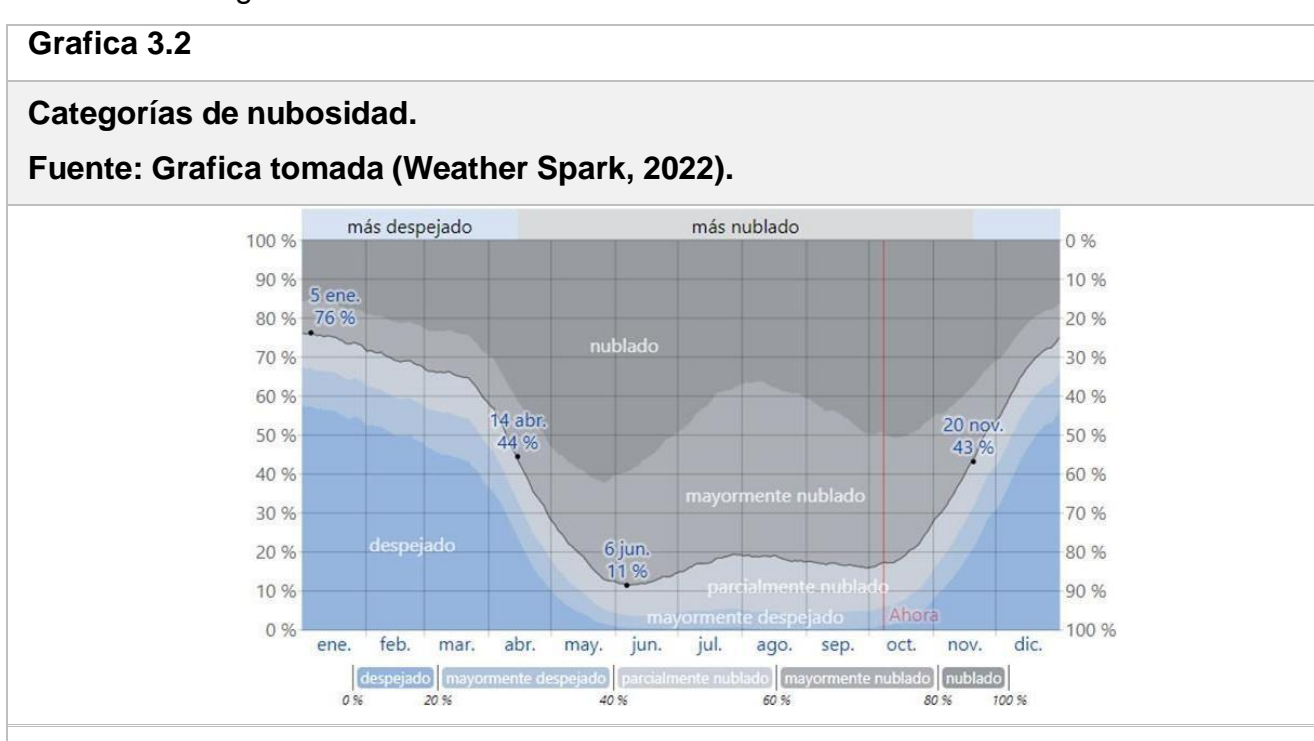
Micro localización.

Geográficamente Rivas se caracteriza por ser accidentado y de baja altitud (100 msnm), el departamento de Rivas se encuentra entre dos zonas de relieve alto, entre las sierras de Managua (900 msnm) y la cordillera de Guanacaste (1300 metros msnm). Esta misma condición del relieve permite que haya el "recurso viento" en esta zona que es aprovechado para la generación de energía

eólica sólo que con los vientos que provienen del mar Caribe ya que no es muy común que los vientos entren con tanta fuerza y frecuencia por el Pacífico.

El porcentaje del cielo cubierto con nubes varía extremadamente en el transcurso del año siendo los meses más despejada a partir del 20 de noviembre; dura 4.8 meses y se termina aproximadamente el 14 de abril donde el mes más despejado del año es enero, durante el cual en promedio el cielo está despejado, mayormente despejado o parcialmente nublado el 75 % del tiempo, por lo cual la parte más nublada del año comienza aproximadamente el 14 de abril; dura

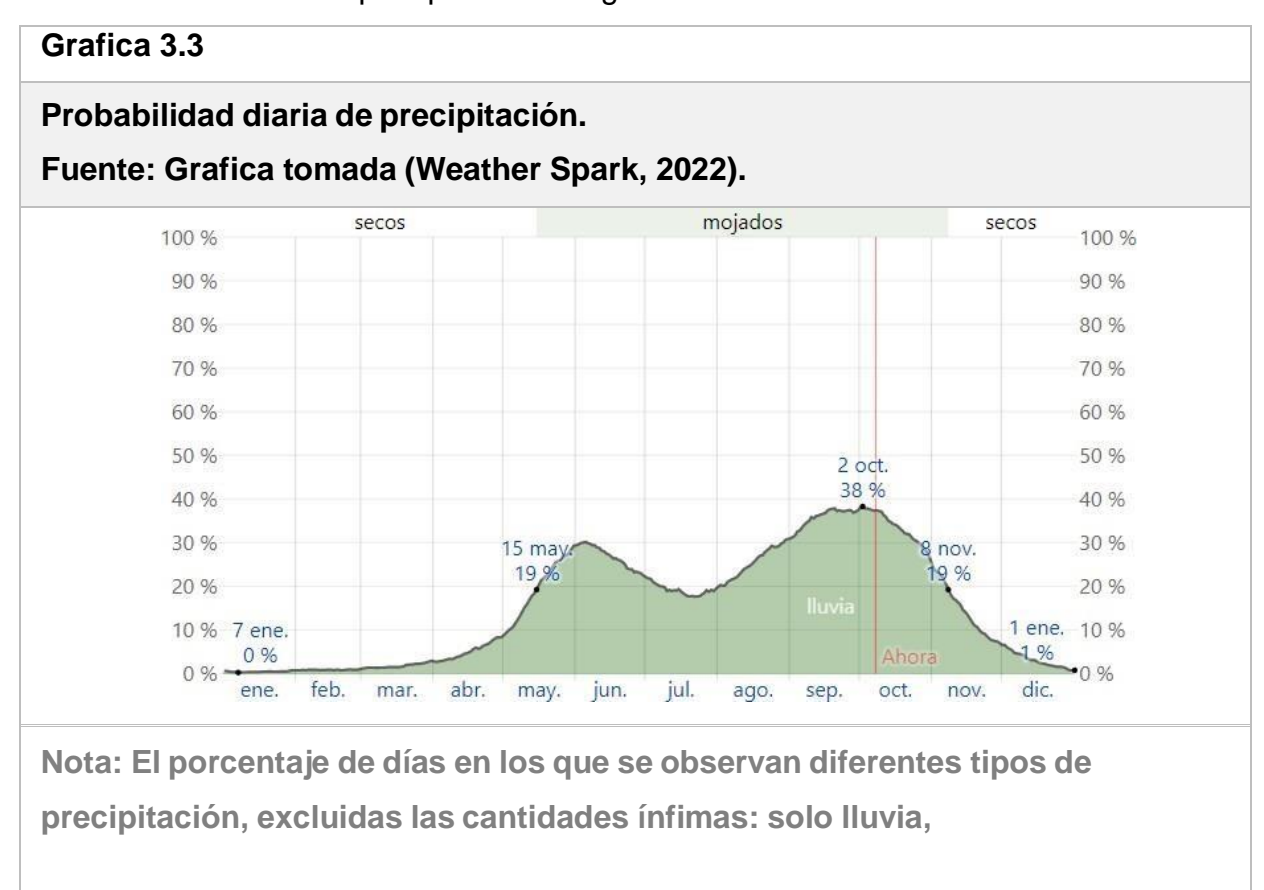
7.2 meses y se termina aproximadamente el 20 de noviembre, siento junio el más nublado de todos con un promedio de estar mayormente nublado un 87% del tiempo como se observa en la gráfica 3.2.



Nota: El porcentaje de tiempo pasado en cada banda de cobertura de nubes, categorizado según el porcentaje del cielo cubierto de nubes.

La precipitación de un día mojado es de 1 milímetro de líquido (precipitación equivale a un líquido). Por eso la probabilidad de días mojados varia considerablemente durante el año, sabiendo este dato las temporadas más mojadas duran 5.8 meses, de 15 de mayo a 8 de noviembre, con una probabilidad de más del 19 % de que cierto día será un día mojado. El mes con más días

mojados es septiembre, con un promedio de 10.8 días con por lo menos 1 milímetro de precipitación y la temporada más seca dura 6.2 meses, del 8 de noviembre al 15 de mayo. El mes con menos días mojados es enero, con un promedio de 0.1 días con por lo menos 1 milímetro de precipitación ver grafica 3.3.



Con el promedio mensual de lluvia esta corresponde a la variación durante un mes y no solamente los totales mensuales, mostramos la precipitación de lluvia acumulada durante un período de 31 días en una escala móvil centrado alrededor de cada día del año. Rivas tiene una variación extremada de lluvia mensual por estación.

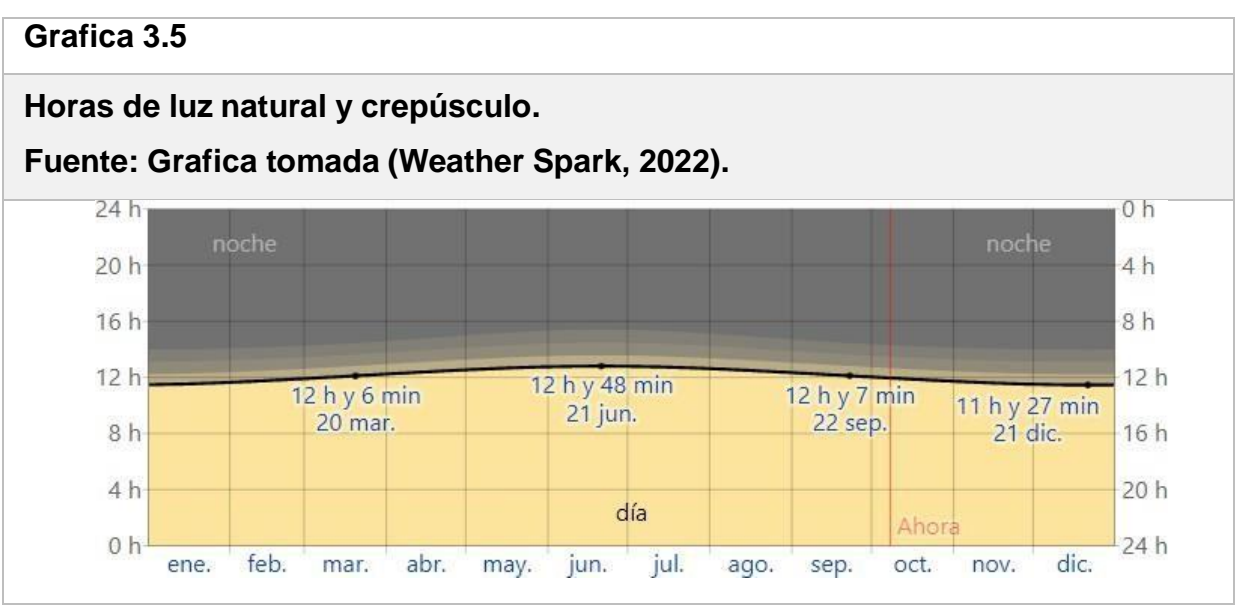
solo nieve, mezcla (llovió y nevó el mismo día).

La temporada de lluvia dura 7.8 meses, del 14 de abril al 9 de diciembre, con un intervalo móvil de 31 días de lluvia de por lo menos 13 milímetros. El mes con más lluvia es septiembre, con un promedio de 165 milímetros de lluvia y el periodo del año sin lluvia dura 4.2 meses, del 9 de diciembre al 14 de abril. El mes con menos corresponde a enero, con un promedio de 1 milímetros de lluvia ver grafica 3.4.



Nota: La Iluvia promedio (línea sólida) acumulada en un periodo de 31 días en una escala móvil, centrado en el día en cuestión, con las bandas de percentiles del 25º al 75º y del 10º al 90º. La línea delgada punteada es la precipitación de nieve promedio correspondiente.

La duración del día en Rivas no varía considerablemente durante el año, solamente varía 47 minutos de las 12 horas en todo el año. En 2022, el día más corto es el 21 de diciembre, con 11 horas y 27 minutos de luz natural; el día más largo es el 21 de junio, con 12 horas y 48 minutos de luz natural se puede observar en la gráfica 3.5.



Nota: La cantidad de horas durante las cuales el sol está visible (línea negra). De abajo (más amarillo) hacia arriba (más gris),

las bandas de color indican: luz natural total, crepúsculo (civil, náutico y astronómico) y noche total.

Ubicación Geográfica.

Se determina geográficamente el puto exacto donde se encuentra el restaurante

Con las siguientes coordenadas 11°26 '21" N 85°49'15W estableciendo como punto de referencia para determinar en qué latitud y longitud se encuentran como se observa en la figura 1.

Figura 1 Ubicación geográfica del sitio

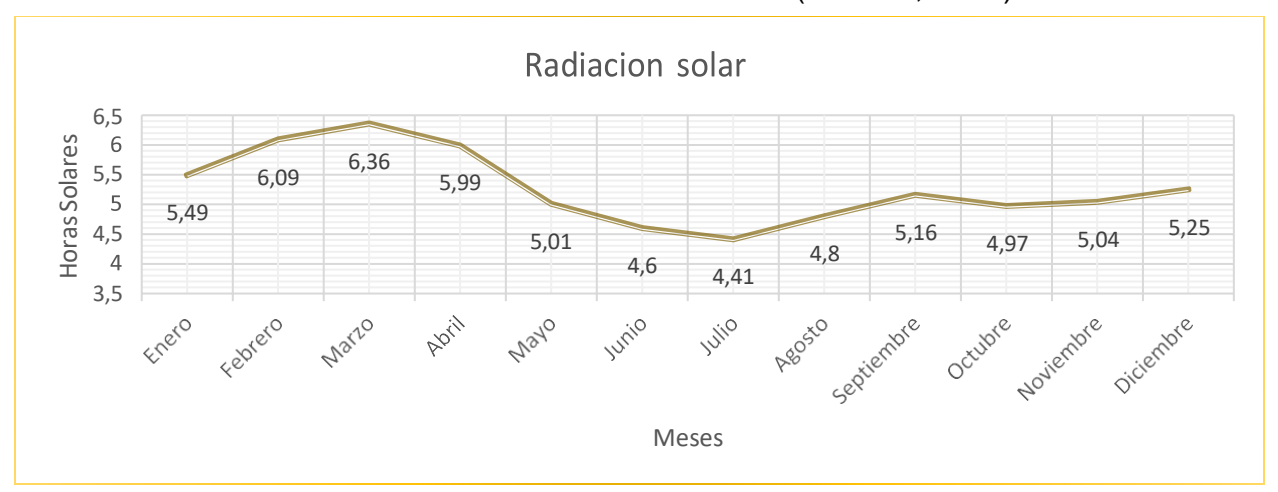
Fuente: Imagen tomada (CCEEA, 2022).



Con las coordenadas previamente establecida se debe determinar el índice de horas de irradiación que se obtendrá en la zona del proyecto como se observa en la gráfica 3.6.

Grafica 3.6 Radiación solar del sitio.

Fuente: Valores tomados (CCEEA, 2022).



Nota. La cantidad de horas solar que está irradiando en la zona (línea café). Durante los meses del año aproximadamente.

Método cualitativo por punto.

Para este método se le asignará un peso a cada uno de los factores, para luego darles una calificación del 1 al 10. Sumando el resultado de multiplicar el peso asignado a cada factor por la calificación dada, obtenemos la calificación total de cada zona ver tabla 3.2. Para la decisión de la localización del proyecto, se tomarán en cuenta los siguientes factores:

- Disponibilidad del terreno.
- Altura.
- Cercanía al panel de distribución.
- Orientación al ecuador.
- Impacto visual del local.
- Accesibilidad para el mantenimiento.

Tabla 3.2 Método cualitativo por puntos en las zonas (A) Terraza, zona (B) Detrás del edificio (nivel del terreno) para los paneles solares.

Fuente: Elaboración propia.

		A			В
Factor relevante	Peso	Calificación	Calificación	Calificación	Calificación
	asignado		ponderada		ponderada
Disponibilidad del terreno	13%	9	1,17	7	0,9 1
Cercanía al panel	10%	6	0,6	4	0,4
Orientación al ecuador	40%	9	3,6	6	2,4
Impacto visual al local	15%	7	1,05	5	0,7 5
Accesibilidad al mantenimiento	22%	8	1,76	9	1,9 8
∑Suma	100%		8,18		6,4 4

La zona A es la más óptima para ser la localización del proyecto, porque esta nos ofrece un fácil acceso a un mantenimiento, da buen aspecto al local, maniobras de instalación, para la instalación de los paneles solares.

Ingeniería del proyecto.

En el estudio técnico se determinarán los elementos que tienen que ver con la ingeniería básica del producto, para ello se tiene que hacer la descripción detallada del mismo con la finalidad de mostrar todos los requerimientos necesarios para su funcionalidad y eficiencia. De ahí la importancia de analizar el estado óptimo de la planta para soportar la estructura que nos define la demanda. Finalmente, con cada uno de los elementos que conforman el estudio técnico se elabora un análisis de la inversión para posteriormente conocer la viabilidad financiera del mismo.

Planteamiento

Dimensionar el sistema FV a las necesidades del restaurante para un óptimo aprovechamiento de los recursos, con la finalidad de brindar las condiciones de diseño como son:

- Ser compatible con las características e intermitencia del recurso solar disponible.
- Dimensionarse de acuerdo a la carga requerida.
- Considerar que todos los elementos que componen el sistema, así como los dispositivos e interfaces entre ellos, estén construidos para asegurar un desempeño eficiente, confiable y seguro durante toda su vida útil.
- Diseñarse para soportar la acción del ambiente local (por ejemplo, humedad relativa, salinidad y contaminación.)

Determinar la carga del sistema.

La parte principal de todo requerimiento de un SFV es saber la carga que va estar sometida, con la finalidad de establecer el dimensionamiento correcto se toma como punto de partida la tabla 1.1, con ella se determinara las horas de uso de los equipos en tiempo solar y aprovechar esa energía al sistema con conexión a la red (ver tabla 3.3).

Tabla 3.3 Censo de carga del restaurante Jicarita para el sistema con conexión a red.

Fuente: Elaboración propia

Cargas individuales	Cantidad	Volt.	Amp.	Watts	Watts total	H/uso	Uso semanal	≑7 Dias	Watt hora A
Exprimidor de jugo	2	240	0,625	150	300	1,5	6	7	385,7142857
Máquina de Café	1	240	4,17	1000	1000	2	6	7	1714,285714
Congelador	1	240	1,60	385	385	5	7	7	1925
Refrigeradora	1	240	0,77	185	185	5	7	7	925
Licuadoras Oster 1.5L	2	240	2,5	600	1200	2,5	6	7	2571,428571
Microondas	1	240	4,17	1000	1000	3	6	7	2571,428571
Lum. 3 T5 14w y Balastro 50w	14	240	0,38	92	1288	3	6	7	3312
Lum. 2 T5 14w y Balastro 36w	8	240	0,27	64	512	3	6	7	1316,571429
Lum. 2xCompacta Integrada 20w	18	120	0,33	40	720	3	6	7	1851,428571
Lum. 1xCompacta Integrada 15w	5	120	0,125	15	75	3	3	7	96,42857143
Extractor de humo	1	120	2	240	240	4	6	7	822,8571429
Computadoras	2	120	1,54	185	370	5	6	7	1585,714286
TV de 30"	2	120	0,88	105	210	5	6	7	900
Calentador de Agua	1	120	40,00	4800	4800	2,5	6	7	10285,71429
Impresora HP Laser	1	120	2,71	325	325	2	6	7	557,1428571
					Total kw				Total Kwh/di
					12,61				30,821

Nota: Se considera las horas de usos que tendrán todos los equipos a las horas promedio de sol.

Como se observa en la tabla 3.3 la potencia diaria del sistema será de 30.81 KwH/día, con lo cual se procederá a determinar los siguientes cálculos que se deban requerir a continuación.

Cálculo de la potencia pico.

Con el dato proporcionado de la tabla 3.3 se determinó la potencia que requiere el sistema, antes de poder realizar los cálculos prexistentes, se debe determinar las pérdidas que tendrá nuestro SFV, así poder definir la cantidad de paneles que se va a utilizar.

Estas pérdidas son importantes definirlas con la finalidad de ofrecer un sistema que rinda antes las peores condiciones climáticas para abastecer las necesidades del cliente.

Estas pérdidas van en dependencia de los equipos a instalar, el mínimo permisible para todo tipo de instalación es de un 15%, en los cálculos se considerarán las siguientes perdías (ver tabla 3.4).

Tabla 3.4 Pérdidas generales de un arreglo Fotovoltaico.

Tabla 3.4		
Pérdidas generales de un arreglo Fotovoltaico.		
Perdidas d	e Sistema	
Paneles	10%	
Cables	2%	
Inversor	8%	
Nota: Estas pérdidas podrán variar dependencia de los equipos a utilizar en el SFV.		

Conociendo estos datos se determinará la energía generada del local que son las pérdidas del SFV para obtener un mejor rendimiento dada por la ecuación 3.1.

$$Eg = \frac{P}{1 - perdidas\%}$$
 Ec.3.1

$$30,821 = 38,526W$$
 $Eg = W$
 $1 - 0.20$

Se determino la energía generada que debe ser sustentada por los paneles conello se debe de determinar las HSP (ver grafica 3.7), tomado como criterio las horas promedio que saldrá el sol en la zona, que sería de 5.26 h, implementando con un rendimiento del 90% porcuestiones climáticas. Ep = 0.9 * HPS = 4,734 HPS

Con los valores de la energía generada y las HSP se define la potencia pico del arreglo con la finalidad de determinar lo que necesita generar los paneles.

Entonces la potencia pico del sistema será dada por la ecuación 3.2.

$$Eg$$

$$Pp = \frac{}{Ep}$$

$$38,526W$$

$$Ppico = \frac{}{4,734 \ HPS} = 8,138.15 \ W$$

Voltaje del sistema.

Unas de las partes principal es determinar a qué voltaje va estar el sistema a implementar, estos pueden ser a 12, 24 o 48 v respectivamente, como concepto básico de circuito se sabe que a mayor voltaje disminuimos las pérdidas que tendrá este sistema, el cual el voltaje adecua dependerá de la potencia pico de la ecuación 3.2 y con los valores determinado por la tabla 3.5.

Tabla 3.5 Criterio de selección del sistema dependiendo del consumo diario.

Fuente: Datos extraídos (Verde, 2021).

Consumo	Voltaje recomendado al sistema
De 1 a 2000 Wh	Sistema a 12 V
De 2001 Wh a 4500 Wh	Sistema a 24 V
De 4501 Wh en adelante	Sistema a 48 V

Nota: Por recomendación de diseño el sistema será a 48 v para evitar perdías en este.

Arreglo de paneles

Ya teniendo la potencia pico es necesario calcular la cantidad de paneles necesarios para alcanzar la potencia estimada.

Pmax(modulo) = 560W

Unidades
$$\frac{8,138.15 \ W}{560W}$$
 = 14.53 ≈ 14 paneles

Se debe de considerar un rango permisible de un +10% o+10% de la potencia pico. 14 unidades * 560 w = 7,840 W; ¡Si cumple!

Sabiendo el número de paneles a instalar dependerá del número de estos dispositivos en conexión serie requeridos para obtener en bornes la tensión nominal del sistema, y del número de paneles en conexión paralelo necesarios para conseguir una potencia pico global igual o superior a la requerida según cálculos.

El número de módulos fotovoltaicos que es necesario conectar en serie, NPs, se determina en función de la tensión nominal del sistema, Vns, y la del módulo elegido, Vnp (otro parámetro de diseño), de modo que ver la ecuación 3.3.

$$Vns$$

$$NPs = \frac{Vnp}{Vnp}$$
Ec.3.3

Se obtiene.

El número de filas de módulos fotovoltaicos que es necesario conectar en paralelo,

NPp, se calcula teniendo en cuenta la potencia pico necesaria en el campo fotovoltaicos, Pp, el número de módulos en serie, NPs, y la potencia pico del módulo escogido, Pm (otro parámetro de diseño), de modo que ver la ecuación 3.4.

$$NPp = \frac{Pp}{NPs * Pm}$$
 Ec.3.4

$$NPp$$
 7,840 W = 7 paneles en paralelo. =
$$\frac{2 * 560 W}$$

Ángulo de inclinación (β).

Es el ángulo que se forma entre la superficie del lugar con el plano horizontal del módulo fotovoltaico, el cual va a depender de la latitud (ver figura 3.1) del lugar de la instalación del sistema que es de 11,4394°. Con ella se determinará la altura que tendrá cada módulo solar en la instalación para módulos fijos tomando β el valor de la siguiente tabla 3.6.

Tabla 3.6 Ángulo de inclinación (β).

Fuente: Datos extraídos de (Miguel, 2010).

Latitud del lugar en grados	Ángulo de inclinación fijo en grados
0° a 15°	15°
15° a 25°	La misma latitud
25° a 30°	Latitud + 5°
30° a 35°	Latitud + 10°
35° a 40°	Latitud + 15°
40° a más	Latitud + 20°

Con los valores de la tabla 3.6 se determinó que cada panel tendrá un ángulo de 15°.

Cálculo de la altura del arreglo.

Para determinar la altura (h) que estará el panel se implementará la función trigonométrica ver ecuación 3.5.

$$\sin \beta = \frac{Cateto \ Opuesto}{Hipotenusa} \quad h$$
Ec.3.5

El cual el valor de β se definió en la tabla 3.6 y l es la longitud del módulo (ver anexo B), el cual la ecuación quedaría de esta esta forma.

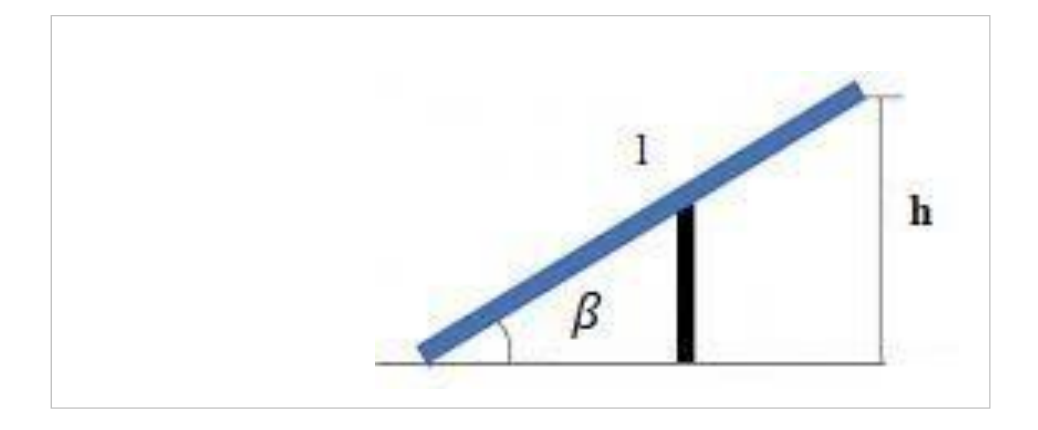
$$h = \sin \beta * l$$
 Ec.3.6

$$h = (2.265) * \sin 15^{\circ} = 0.59 m$$

Por lo tanto, con la ecuación 3.6 se determinó la altura de cada módulo, será de 0.59 m.

Figura 3.1 Altura del arreglo de los módulos.

Fuente: imagen modificada (CEEN, 2015).



Determinar el ángulo de elevación y el azimut.

Para determinar estos valores se debe de considerar el peor mes del año que lo habitual es diciembre por tener las condiciones más críticas, nos apoyaremos de una carta solar de la zona (ver en anexo A), que determinaremos una hora solar de 6h que será de 9 am a 3 pm.

$$\Box$$
 Ys = 32.91° \Box S = 127°

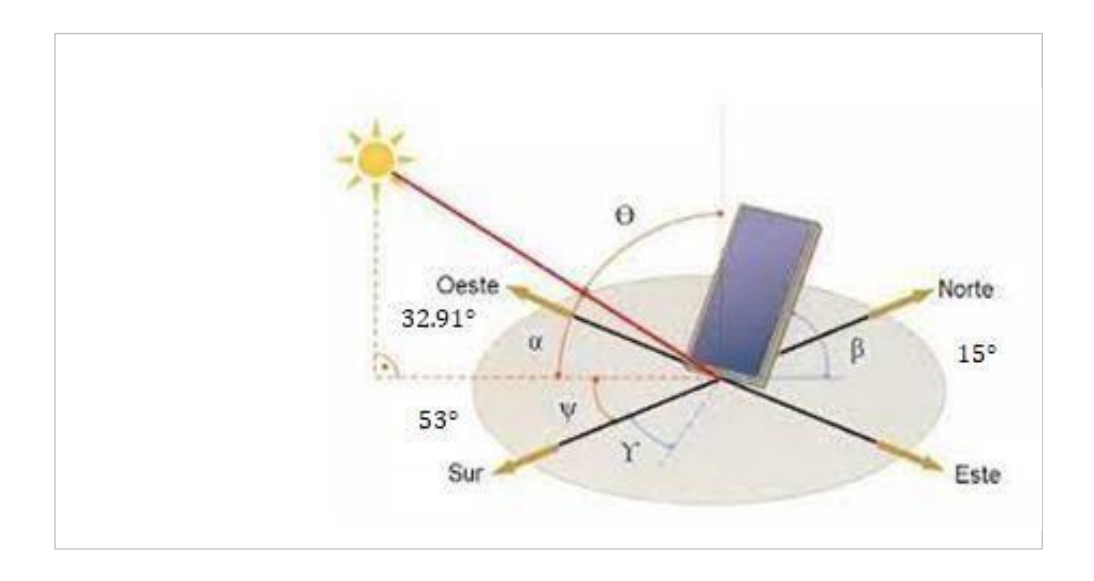
El ángulo de azimut estada dada por la ecuación 3.6.

$$epsi$$
 $□$ s = 180° - Azimut Solar. Ec.3.6

$$epsi \ \square \ s = 180^{\circ} - 127^{\circ} = 53^{\circ}$$

Figura 3.2 ángulo de elevación y el azimut.

Nota: Imagen modificada (CEEN, 2015).



Distancia de la sombra proyectada.

Cuando se va realizar la instalación, las sombras influye mucho en el diseño de nuestro sistema, causa que tengamos mayores pérdidas, resumen no sea optimo, puede ser ocasionados por: árboles, edificios, montañas, o los propios módulos.

Para determinar la distancia de sombra (Ds) se ocuparán los valores sacados del anexo B y de la ecuación 3.6.

De la ecuación 3.7 podremos determinar por despeje el valor de Ds dando.

$$Ds = \frac{h}{\tan Ys}$$

$$0.59 m$$

$$Ds = \frac{1}{\tan 32.91} = 0.911 m$$

Por lo tanto, la distancia de la sombra proyectada es de 0.911 m. No podemos decir que es la distancia que tendrá el arreglo, por motivo que el sol tiene un ángulo de elevación (Ys) de 32.91°

a partir a las 9 am este no se encuentra alineado con Sur con el arreglo fotovoltaico, por ende, la distancia de sombra no está perpendicular con el arreglo.

Para determinar la distancia mínima de este se utiliza las funciones trigonométricas se obtiene la siguiente ecuación.

$$\cos epsi \ \Box s = \frac{Dm \ (distancia \ minima)}{Ds}$$
 Ec.3.

Por medio de despeje de la ecuación 3.8 se obtiene la ecuación 3.9.

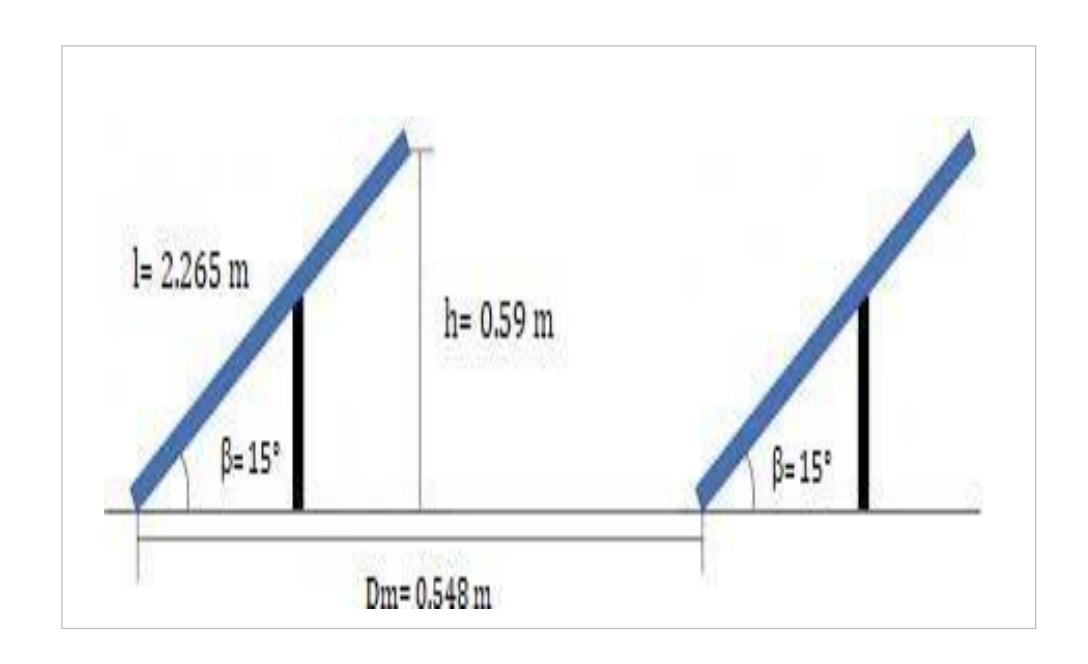
$$Dm (distancia \ minima) = Ds * cos \ epsi \ \Box s$$
 Ec.3.

$$Dm (distancia \ minima) = 0.905 \ m * \cos 53^{\circ} = 0.548 \ m$$

Por lo tanto, la distancia de la sombra proyectada es de 0.548 m.

Figura 3.3 Dimensiones del arreglo FV.

Fuente: Imagen modificada (CEEN, 2015).



Cálculo de inversor.

Con el cálculo de los paneles total podemos determinar la potencia del sistema que será de

7.84Kwh de generación dada por las ecuaciones 3.3 y 3.4

$$P_{inversor} = 1.25 * P_{generada}$$
 Ec.3.1

Se tiene que el inversor será de 9.8 Kw, como en el mercado solo existen inversores con potencias estándares se buscará el inversor con la potencia inmediata superior a la calculada.

Cálculo de caída de tensión.

El cableado de conexión representa unos de los componentes indispensables para el transporte de la energía eléctrica entre los diferentes bloques que integran un sistema F.V. Resulta inevitable que parte de esta energía trasportada se pierda en forma de calor. El material que actualmente es utilizado cable PV es un producto de un solo conductor que cumple con los requisitos de la norma UL-4703 para cables fotovoltaicos. Para determinar el calibre adecuado para nuestra instalación se considera permisible como máximo un 2% de perdida en conductores igual en circuitos en AC se implementará una fórmula para determinar que calibre óptimo para los circuitos en DC está dada por la ecuación 3.11:

$$I * D$$
 Ec.3.1 $ICV = \underbrace{ * 3,281}_{\%CV * Vns}$

Con la ecuación 3.11 se determinará las caídas de tensión de cada tramo.

Conexión entre paneles.

$$\frac{(13.26 \ A)*(0.5m)}{*3,281 = 0.45 \approx 1}$$

$$(2\%)*(24v)$$

• Conexión entre los paneles en paralelo al inversor.

$$\frac{(256.52 \ A)*(6.5m)}{*3,281} = 5.9 \approx 6$$
$$(2\%)*(48v)$$

3.7).

Con los datos anteriores se determinará el calibre de los conductores en AWG (ver tabla

Tabla 3.7 Relación entre el ICV y el AWG.

Fuente: Datos sacados (Hector, 2004).

Calibre AWG	ICV	Calibre AWG	ICV
4/0	99	6	12
3/0	78	8	8
2/0	62	10	5
1/0	49	12	3
2	31	14	2
4	20	16	1

Con los datos obtenido de caída de tensión y la tabla 3.7 se determina el tipo de calibre que se va a instalar.

Para la conexión entre paneles según la tabla anterior sería un calibre 16 (AWG) pero según El National Electric Code (NEC) exige que se utilicen conductores de calibre 12 (AWG) o superior, en los sistemas con tensiones por debajo de 50 voltios.

Las conexiones de los paneles en paralelo con el inversor se obtienen el calibre 8 (AWG), siendo el valor dado de ICV un 6, se pasa al inmediato superior que sería el 8 en ICV.

Se considera ahora los cálculos de caída de tensión en AC ocupando la ecuación 3.12.

$$S_{cu} = \frac{2*c*L*I}{e*V}$$
 Ec.3.12

Existe otra forma de expresar la fórmula 3.12 por medio de la potencia que es la que vamos a ocupar.

$$S_{cu} = \frac{2 * c * L * P}{e * V^2}$$
 Ec.3.13

Salida del inversor a la red.

$$\frac{(2)*(2)*(1m)*(7,840w)}{(2\%)*(240v)^2} = 0.27mm$$

En este caso el calibre que sale por el cálculo es inferior a un calibre 14 (AWG), la normativa no permite un calibre inferior al 12 (AWG), al utilizar este calibre da un 0.14% de pérdida en la línea que es aceptable por la normativa siendo no mayor al 2% permisible en interiores.

$$\frac{(2)*(2)*(1m)*(7,840w)}{(3.91)*(240v)^2} = 0.14\%$$

Cálculo de tubería CONDUIT.

Es importante determinar cuántos conductores deben de entrar en el tubo Conduit para así evitar calentamiento de los conductores al existir limitación de disipación, evitar esfuerzos mecánicos al momento de sondear y canalizar estos mismos.

El objetivo primordial es permitir un arreglo físico de tal manera faciliten el alojamiento y manipulación durante la instalación de los conductores, disponiendo de una cantidad de aire necesario para que mantengan unas temperaturas adecuadas entre las secciones del tubo y los conductores.

Para determinar las pulgadas que se utilizaran de tubería nos basaremos en la síguete tabla (tabla 3.8) certifica bajo la normativa UL-6.

Tabla 3.8 NÚMERO MÁX. DE CONDUCTORES ELÉCTRICOS EN TUBERÍA CONDUIT.

Fuente: Tabla obtenía (VILLACERO, 2021)

Tabla 3.8						
NÚMERO MÁX.	DE COI	NDUCT	ORES I	ELÉCTRIC	COS EN	
TUBERÍA COND	OUIT.					
Fuente: Tabla o	btenía (VILLAC	ERO, 2	2021)		
CAL./ALAMBR	In. ½"	ln.	In. 1"	ln.	ln.	ln.
E		3/4"		11/4"	11/2"	2
MCM AWG						
14	4	6	10	18	25	41
12	3	5	8	15	21	34
10	1	4	7	13	17	29
8	1	3	4	7	10	17
6	1	1	3	4	6	10
4	1	1	1	3	5	8
2	-	1	1	3	3	6

Las tuberías adecuadas según la tabla 3.8 que se tienen que utilizar en la instalación seran tuberías de ½" y de ¾" que son correspondientes a la salida del arreglo en paralelo al inversor que será de ½" y la salida del inversor al panel de ¾".

Cálculo de puesta a tierra.

La puesta a tierra es uno de los elementos fundamentales para la correcta protección de nuestro sistema fotovoltaico. Sirve para minimizar los efectos destructivos de una descarga eléctrica.

Se debe garantizar que tanto el marco de los paneles y la estructura este interconectado entre sí, para hacer una sola conexión a tierra, con el fin de unificar con la tierra existente del edificio y generar un solo potencial.

En un panel FV la densidad de carga sobre una superficie se incrementa sustancialmente durante una tormenta eléctrica, pudiendo inducir una descarga eléctrica. Para evitarlo, se necesita que esas cargas sean conducidas de la superficie del panel al marco metálico, luego a tierra. Como esta representa un alto incremento en la superficie, la densidad de carga disminuye, minimizando

la posibilidad de una descarga. No existe protección para una descarga directa de unrayo, por la energía asociada con la misma es demasiado elevada.

Utilizando la tabla 250-122 del NEC se determinará el conductor mínimo de puesta a tierra para canalización y equipos utilizando la Isc del panel (ver anexo C) quesería de 28.2 A.

Tabla 3.9 Tamaño mínimo de los conductores de puesta a tierra para canalización y equipos.

Fuente: Valores tomados de (NFPA, 2020).

Max.	Conduct	or size (AWG or kcmil)
circuit breaker size	Copper	Aluminum or copper-clad aluminum
15	#14	#12
20	#12	#10
60	#10	#8
100	#8	#6
200	#6	#4
300	#4	#2

Como se observa en la tabla 3.9 se determina que el calibre adecuado para la conexión de puesta a tierra entre modulo es el calibre #10.

Las conexiones de puesta a tierra con los módulos y estructuras son lassiguientes. (Ver la figura 3.5).

Equipos Requeridos.

Antes de seleccionar los equipos a implementar se debe asegurar que cumplan con las normativas y certificaciones adecuadas, para obtener un sistema estable, confiable, seguro y duradero.

Dados estos principios, retomaremos algunas certificaciones de referencia para cada uno de los equipos que conforman nuestro SFV.

- a) Módulos FV. Se recomienda que los módulos fotovoltaicos sean fabricados de acuerdo con lo establecido en las normas siguientes y otras aplicables:
- DIN 4102-1: Inflamabilidad baja (categoría B1).
- IEC 61701: Prueba de corrosión por niebla salada de los paneles fotovoltaicos.
- IEC 60068-2-60: Resistencia al amoniaco, salinidad.
- IEC 61215: Paneles fotovoltaicos (PV) terrestres de silicio cristalina—
 Calificación de diseño y aprobación de tipo.
- UL 1703: Paneles fotovoltaicos de placa plana.
- b) **Inversor.** Se recomienda que el inversor sea fabricado de acuerdo con lo establecido en la norma UL 1741 u otras normas aplicables.
- c) Cableado. Los requisitos de construcción actuales descritos por UL 4703 son los siguientes:
- Material del conductor: cobre, aluminio revestido de cobre, aluminio.
- Aislamiento: XLPE, EPR.
- Tensión: 600 V, 1 kV, 2 kV.
- Resistente a la luz solar.

- Temperatura de operación: 90°C en ambiente húmedo; y 105°C, 125°C y 150°C en ambiente seco.
- Opción para enterramiento directo.
- Opciones adicionales: USE-2, RHW-2.

Conociendo las normativas esenciales de cada equipo se definirá los materiales de la instalación FV que se llevará a cabo en el restaurante (ver tabla 3.10).

Tabla 3.10 Equipos y accesorios

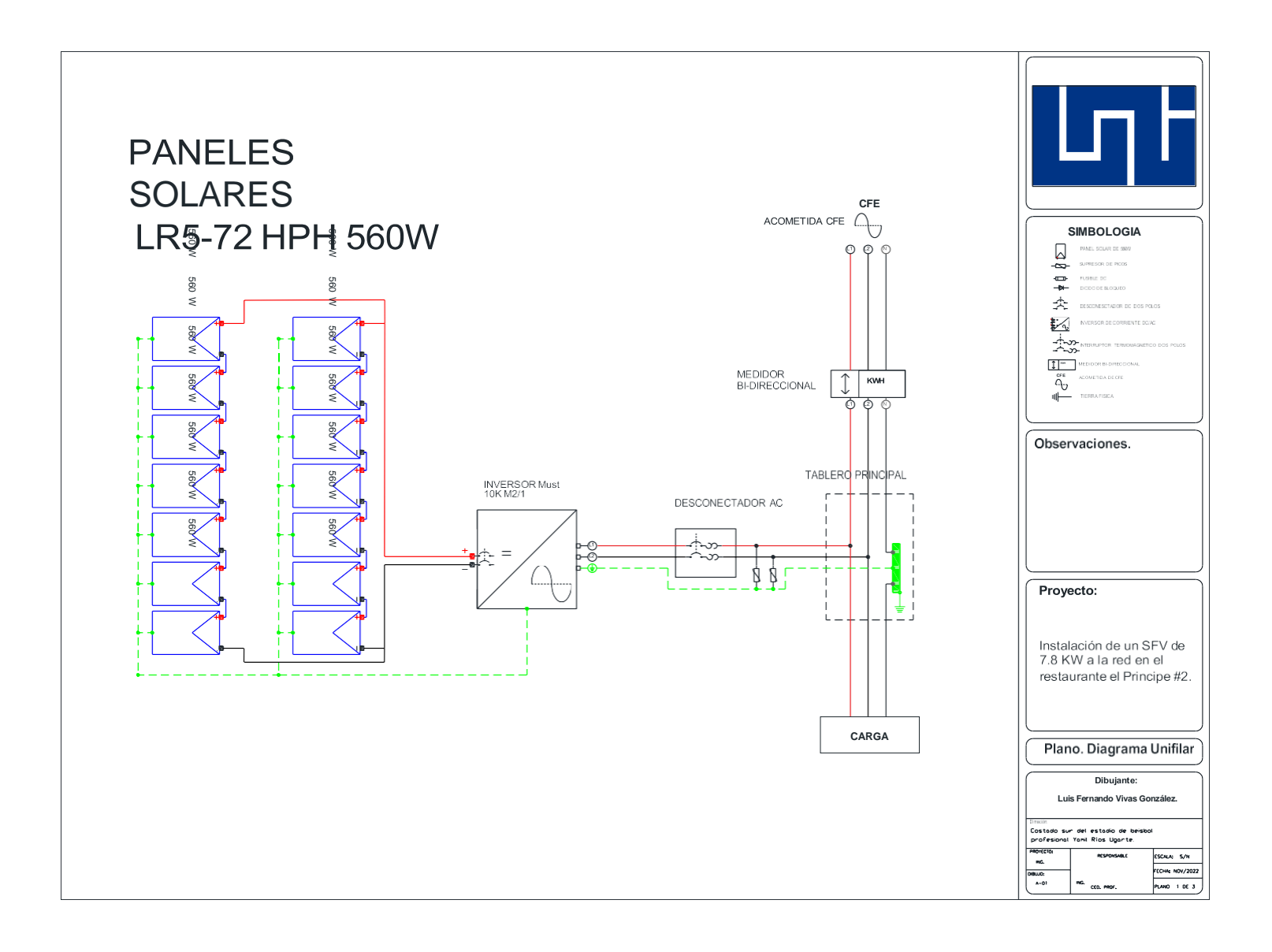
	Equipos y	Accesorios	
Tipo de	Cantidad	Modelo	
equipo			
Módulos FV	14 unidad	LR5-72 HPH	
Inversor	1 unidad	PV35-10048PRO	
Soporte de	14 unidad	Estructura fija al	
panel		suelo	
Cableado	12 m	PV 16	
Cableado	14 m	PV 8	
Cableado	6 m	AWG 10 desnudo	
Cableado	5 m	AWG 12	
Cableado	15 m	AWG 10 solido	
Puesta a	1 unidad	Pata de ganso	
tierra			
Tubería	6 m	1/2"	
Tubería	3 m	3/4"	
Terminales	32 unidad	Terminal de estructura	
		fija	
Terminales	12 unidad	Terminal de ojo	
Conectores	30 unidad	MC4	
Observaciones:			

	Características de los paneles FV					
Marca	HI-MO	LR5-72	Modelo			
		HPH				
Potencia pico	560 W	Mon	Tipo de			
•		0	panel			
		Cristal				
		ino				
Potencia	7.84 kw	10 año	Periodo de			
instalada			garantía			
	Característic	as del inverso	or			
Marca	MUST	PV3	Modelo			
		5-				
		10048				
		PRO				
Rendimiento	95%	Onda Pura	Tipo de			
			onda			

Diagrama unifilar.

Figura 3.4 Diagrama unifilar del SFV.

Fuente: Elaboración propia



Distribución de planta

El siguiente paso es distribuir las áreas en el terreno disponible, de forma que se minimicen los recorridos de materiales y que haya seguridad y bienestar para los trabajadores. La distribución debe tomar en cuenta todas las zonas de la planta y la distribución que se proponga debe brindar la posibilidad de crecer físicamente, es decir, contemplar futuras expansiones. Para realizar la distribución se utiliza el método de Distribución Sistemática de las Instalaciones de la Planta o SLP (Systematic Layout Planning), el cual consiste en obtener un diagrama de relación de actividades construido con dos códigos. El primero de ellos es un código de cercanía representado por letras, donde cada letra (o número de líneas) representa la necesidad de que dos áreas estén ubicadas cerca o lejos una de la otra; el segundo código es de razones, representado por números, cada número representa por qué se decide que un área esté cerca o lejos de otra, ver en las siguientes tablas 3.11 y 3.12.

Tabla 3.11 Orden de proximidad.

Tabla 3.12 Código de razones

Tabla 3.11Orden de proximidad.
Fuente: Tabla extraída de (Urbina, 2010)

Fuente: T	Fuente: Tabla extraída de (Urbina, 2010).					
Letra	Orden de proximidad					
A	Absolutamente necesaria					
E	Especialmente importante					
I	Importante					
O	Ordinaria o normal					
U	Unimportant (sin importancia)					
X	Indeseable					
XX	Muy indeseable					

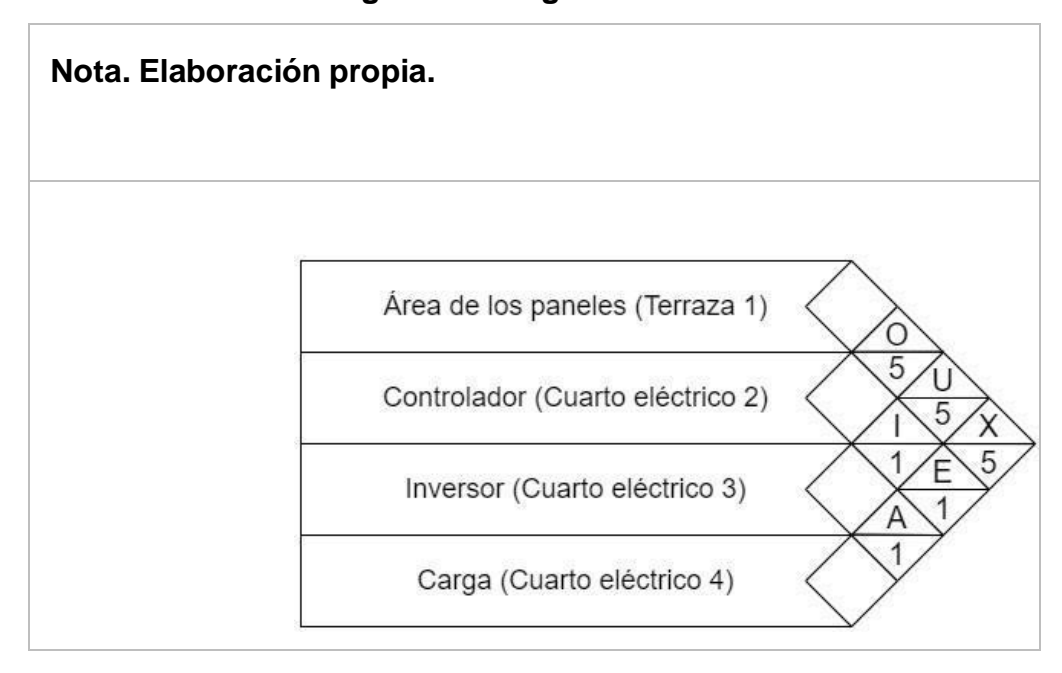
Tabla 3.12 Código de razones.

Fuente: Tabla extraída de (Urbina, 2010).

Número	Razón
1	Por control
2	Por higiene
3	Por proceso
4	Por conveniencia
5	Por seguridad

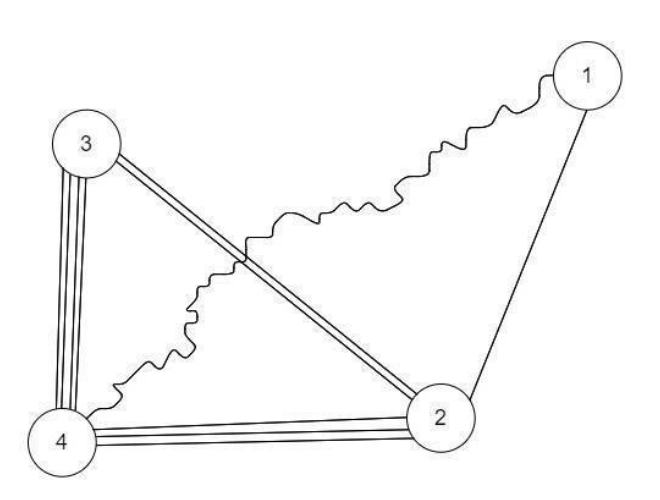
Diagrama SLP

Figura 3.5 Diagrama SLP



Con la figura 3.9 se construye el diagrama de hilos (vea la figura 3.10) que utiliza el código de líneas, la matriz SLP debe de afirmar el diagrama de hilo, esto quiere decir que ambos tanto el diagrama de hilos como la matriz de SLP deben de coincidir con el orden de proximidad.

Figura 3.10 Diagrama de hilos



Plano arquitectónico.

Figura 3.6 Plano arquitectónico

TABLA DE ÁREAS AMBIENTES ÁREA INT. NUMERO DESCRIPCION Localización 2.74 17.02 25.79 Observaciones. Proyecto: instalación de un SFV de 7.8 KW a la red en el restaurante el Principe #2. Plano. Arquitectónico

.

Área disponible de distribución.

Con el plano arquitectónico (figura 3.11) se observa de cuanto serán los metros cuadrados disponible, para el montaje de los equipos, siendo las áreas adecuadas: el cuarto eléctrico (2.8 m²) y la terraza (490 m²) siendo esta última con mayor disponibilidad de área libre, con el fin de ampliar la carga de generación a futura si el cliente así lo desea.

Determinar el área que ocuparan los paneles FV.

Con el anexo B se determinó que cada panel cuenta con 2.583 m² conociendoeste dato, solo queda multiplicar por la cantidad de paneles a utilizar.

$$14 \ unidades * 2.583 \ m^2 = 36.16 m^2$$

El área total es de 36.16 m² aproximadamente lo que tendrá el arreglo FV, ubicado al sur del edificio para obtener el mayor beneficio de irradiación solar que nosofrece la zona.

Plan de ejecución de la obra

Luego de que la propuesta de proyecto sea aprobada se iniciara su proceso de ejecución. Se estima que la instalación del proyecto tendrá una duración de 5 días hábiles en jornadas de 8 horas laborales de 7 am a 3 pm con descansos de una hora durante el mediodía, y medio día para inspección de una correcta ejecución del proyecto.

La ubicación del proyecto es en la ciudad de Rivas por lo que se necesita un tiempo de alrededor de 3 horas y media para transportar los materiales y personal desde Managua. Por eso el primer día se saldrá desde las 4 am para llegar alrededor del inicio de la jornada laboral.

Estando en el lugar se hará una inspección preventiva del techo para comprobar que es seguro trabajar sobre él, para luego iniciar la instalación de los soportes para las cubiertas de los paneles solares.

En el segundo día se finalizará la instalación de los soportes para fijar la cubierta y así iniciar a instalar los paneles solares.

En el tercer día se finalizará la instalación de los paneles.

En el cuarto día se realizará la conexión de los paneles solares con el inversor para luego conectarlo al centro de carga.

En el quinto día se hará la instalación de la puesta a tierra en pata de ganso donde setendrá que realizar un zanjado para enterrar las varillas.

En el sexto día se realizará una inspección para verificar que toda la instalación sehaya ejecutado de manera satisfactoria.

Estudio Financiero

Costos del Proyecto

Para Urbina (2010), los costos de un proyecto es la cantidad de dinero que debe de ser desembolsada por los inversionistas en un punto en el tiempo, con el fin de que este sea desarrollado y ser operado una vez culminado (p. 179).

Para la instalación del SFV en el restaurante se deberán solventar 2 tipos de costos, estos corresponden a los costos propios del sistema, es decir, el valor de adquisición de todos los equipos que conforman el sistema como los necesarios para su construcción y los costos de instalación o mano de obra requerida para llevar a cabo la obra.

El último de estos costos como tal no requiere ser calculado para el presente proyecto, ya que las empresas que proporcionan el servicio de instalación de estos sistemas establecen un precio general para proporcionar el servicio en el cual se incluyen el pago de cada uno de los técnicos que participen en el proyecto.

En cambio, los costos del sistema deben ser calculados porque los precios de cada uno de los equipos son diferentes y deben ser detallados para saber el valor de cada uno. En la tabla 11.1 se presentan los costos del sistema fotovoltaico.

Por otra parte, luego de asistir a establecimientos comerciales como TecnoSol S.A, NicaSolar S.A y Ecami S.A y cotizar sobre los costos de los servicios de instalación y mantenimiento para un sistema como el descrito en este proyecto se obtuvo que los costos promedios de estos servicios son de 600 dólares para la instalación, considerando a 4 técnicos instaladores y de 150 dólares para el mantenimiento general que sería realizado por 2 técnicos.

Tabla 4.1 Costos del Sistema fotovoltaico que se pretende instalar.

Tipo de	Cantida	Modelo	Precio Unitario	Precio
equipo	d		Total	
Módulos FV	14 unidad	LR5-72 HPH	268.00 \$	3,752.00
				\$
Inversor	1 unidad	PV35-10048PRO	1,300.00 \$	1,300.00
				\$
Soporte de	14 unidad	Estructura para 2	245.00 \$	1,715.00
panel		módulos		\$
Cableado	12 m	PV 16	2.80 \$	33.60
				\$
Cableado	14 m	PV 8	4.00 \$	56.00
				\$
Cableado	6 m	AWG 6 desnudo	4.20 \$	25.20
				\$
Cableado	5 m	AWG 12	3.00 \$	15.00
				\$
Cableado	15 m	AWG 10 solido	3.50 \$	52.50
				\$
Puesta a tierra	1 unidad	Pata de ganso	400.00 \$	400.00
T. L. Z.	0	4 /0!!	0.00 Ф	\$
Tubería	6 m	1/2"	2.00 \$	4.00
Tubovío	0	2/41	4.00 ft	\$
Tubería	3 m	3/4"	1.32 \$	1.32
Terminales	12 unidad	Torminal do aio	11.00 \$	11.00
i emiliales	ız unluad	Terminal de ojo	11.00 \$	11.00
Conectores	30 unidad	MC4	2.50 \$	
Coneciones	SU UHIUAU	IVIC4	2.50 \$	75.00 \$
Total				τ,440.62 \$
i Otai				,++U.UZ Þ

De todos los costos del proyecto, el único que se mantiene a lo largo del tiempo es el del mantenimiento que se le tiene que brindar al sistema para garantizar sumáximo rendimiento y el buen estado del sistema.

Estudio de los Ingresos del Proyecto

Los ingresos son sumas de dinero que recibe una entidad a cambio de un bien o servicio que este proporcione, en algunos otros casos puede ser dinero que proviene de los inversionistas, un banco, etc. Para el presente proyecto se consideran como ingresos al dinero que el restaurante ya no tendrá que desembolsar correspondientes a los kWh de energía que el SFV le proporciona al sistema eléctrico del restaurante.

Para el cálculo del ahorro de dinero anual que el sistema le proporciona al restaurante se considerara que el precio promedio del kWh al año para los próximos 10 años es igual al precio promedio desde el 2018 al 2021, periodo en el cual el precio del kWh alcanzo valores muy altos. El costro promedio del kWh durante este periodo se presenta en la tabla 4.1.

Los factores a considerar para obtener el ahorro de kWh que el restaurante percibe cada año son el rendimiento de los módulos solares que decae con el tiempo, el incremento en el consumo energético que se proyectó en el análisis de la demanda y la generación de diseño en kWh del sistema, este último se debe a que toda la energía que el sistema genere se puede entender como un ahorro para el restaurante ya que no la consumirá de la red y por ende no tendrá que hacer un desembolso para realizar el pago de la misma.

Tabla 4.2 Costo promedio del kWh mensual y anual desde el año 2018 al 2021.

Fuente: Elaboración Propia.

Meses	Costo kWh año	Costo kWh año	Costo kWh año	Costo kWh año
	2018 (C\$)	2019 (C\$)	2020 (C\$)	2021 (C\$)
Enero	5.68	6.13	7.10	6.23
Febrero	5.70	6.16	7.12	6.23
Marzo	5.73	6.25	7.14	6.25
Abril	5.75	6.34	7.15	6.25
Mayo	5.77	6.43	7.17	6.27
Junio	5.80	6.52	7.19	6.27
Julio	5.82	6.62	6.97	6.29
Agosto	5.84	6.71	6.97	6.29
Septiembre	5.87	6.81	6.97	6.31
Octubre	5.89	6.91	6.97	6.32
Noviembre	5.92	6.99	6.97	6.33
Diciembre	5.94	7.09	6.97	6.34
Promedio	5.81	6.58	7.06	6.28
Anual				
Promedio 4	6.432			
años				

Nota: Los datos se recopilaron del registro de pliego tarifario de la página del INE de acuerdo a la tarifa contratada por el restaurante.

El rendimiento anual de los módulos solares se obtiene por interpolación, dado que el comportamiento de la curva de rendimiento mostrada en la gráfica 2.3 es meramente lineal. Posteriormente, el rendimiento de cada año es multiplicado con la generación anual de diseño presentada en la tabla 3.1 para obtener la generación aproximada de cada año. Por último, el valor

promedio del kWh es multiplicado con la generación anual para determinar el ahorro en córdobas que el proyecto le proporcionaría al restaurante si este se lleva a cabo.

En la tabla 4.3 se presentan los resultados de todos los cálculos descritos anteriormente, de tal manera que se pueda observar en esta el ahorro que se obtendrá en un periodo de 10 años.

Tabla 4.3 Ahorro generado por el proyecto en un periodo de 10 años

Fuente: Elaboración Propia.

Años	Rendimient	Generación	Consumo	Consumo de	Dinero	Dinero
741100	0	(kWh)	(kWh)	la red (kWh)	ahorrado	ahorrado
	Paneles (%)					
0	100	15,012.02	17,188.03	2,176.01	96,557.31 C\$	2,703.60 \$
1	99.12	14,879.91	17,916.90	3,036.98	95,707.61 C\$	2,679.81 \$
2	98.24	14,747.81	18,645.77	3,897.96	94,857.90 C\$	2,656.02 \$
3	97.36	14,615.70	19,374.64	4,758.93	94,008.20 C\$	2,632.23 \$
4	96.48	14,483.60	20,103.51	5,619.91	93,158.50 C\$	2,608.44 \$
5	95.6	14,351.49	20,832.38	6,480.88	92,308.79 C\$	2,584.65 \$
6	94.72	14,219.39	21,561.24	7,341.86	91,459.09 C\$	2,560.85 \$
7	93.84	14,087.28	22,290.11	8,202.84	90,609.38 C\$	2,537.06 \$
8	92.96	13,955.17	23,018.98	9,063.81	89,759.68 C\$	2,513.27 \$
9	92.08	13,823.07	23,747.85	9,924.79	88,909.97 C\$	2,489.48 \$
Total					927,336.43 C\$	25,965.42 \$

A los ingresos anuales en forma de ahorro que percibe el restaurante por beneficio del proyecto se le deben restar los costos de mantenimiento, ya que estos deben descontarse para conocer el beneficio real que el sistema genera.

Conclusiones

Se realizó un estudio de la situación actual del restaurante Jicaritas ubicado en el Municipio de Rivas, donde se determinó un censo de carga y una proyección de demanda a futuro para obtener alternativas de solución al problema del alto coste de la tarifa eléctrica, donde se observó que la carga instalada es de 12.61 kW (tabla 1.1), resultando ser menor que la recomendada para el tipo de tarifa que el restaurante tenía contratada.

Para reducir los costos de la tarifa eléctrica se planifico una alternativa funcional que aproveche la geográfica de la ubicación del restaurante, contando con una alta radiación solar, para implementar el diseñó de conexión a la red, que redujo en gran manera la cantidad de energía que es demandada del local, generando una potencia nominal de 7,840 kW.

Referencias

- (SEI), S. E. (2003). FOTOVOLTAICA Manual de diseño e Instalaciones .
 Home Power.
- Coronado, J. C. (2017). unprg.edu.pe. Obtenido de https://repositorio.unprg.edu.pe/handle/20.500.12893/1919
- ❖ EATON. (Abril de 2020). EATON. Obtenido de https://www.eaton.com/mx/esmx/products/lowvoltage-power-distributioncontrol-systems/panelboards/panelboard-vs-loadcenter--eaton.html
- Espino, V., Jirón, R., & Prado, M. (2022). Sistema Nacional de Inversiones
 Publicas. Obtenido de
 http://www.snip.gob.ni/Docs/metodologias/MetodologiaGeneral.pdf
- Gónzales, J. V. (Junio de 2013). unan.mx. Obtenido de http://www.ptolomeo.unam.mx:8080/xmlui/bitstream/handle/132.248.52.10 0/5422/TESIS .pdf?sequence=1&isAllowed=y
- Grethel Brenes, D. R. (Septiembre de 2016). ribuni.uni. Obtenido de https://ribuni.uni.edu.ni/1356/
- Hernández, P. M. (03 de mayo de 2021). KeeUI Solar. Obtenido de https://keeui.com/2021/05/03/radiacion-solar-para-los-sistemasfotovoltaicos/
- ❖ Instituto Nicaraguense de Energía. (s.f.). Recuperado el 05 de Octubre de 2022, de INE:
- https://www.ine.gob.ni/index.php/pliegos-tarifarios/
- MX, U. (2015). unan.MX. Obtenido de https://ecotec.unam.mx/ecoteca/paneles-fotovoltaicos-2
- Sanchez, O., & Muñoz, M. (Julio de 2017). Repositorio Institucional UNAM-Managua. Recuperado el 5 de Noviembre de 2022, de https://repositorio.unan.edu.ni/7147/18/97474.pdf
- Sebastián Sánchez, J. F. (2016). Obtenido de https://core.ac.uk/download/pdf/84108376.pdf

- (SEI), S. E. (2003). FOTOVOLTAICA Manual de diseño e Instalaciones .
 Home Power.
- ❖ CCEEA. (10 de Noviembre de 2022). CCEEA: https://cceea.mx/solar
- CEEN. (10 de enero de 2015). Eficiencia Energética. Eficiencia Energética: https://certificacionenergetica.info/distancia-minima-entre-filas-decaptadores/
- Espino, V., Jirón, R., & Prado, M. (2022). Sistema Nacional de Inversiones Publicas.
- ❖ Hector, L. G. (2004). Conversión de la luz solar en energía eléctrica . SOLARTRONIC. HI-MO, 5. (2021). LR5-72HPH.
- Instituto Nicaraguense de Energía. (s.f.). Retrieved 05 de Octubre de 2022, from INE: https://www.ine.gob.ni/index.php/pliegos-tarifarios/
- Miguel, P. A. (2010). Energía solar fotovoltaica Nuevas Energías. marcombo. NFPA. (2020). NFPA 70 NATIONAL ELECTRICAL CODE. NFPA.
- Parimita, M. T. (2016). Solar Photovoltaic System A Guidebook for Off-Grid Electrification.
- Sanchez, O., & Muñoz, M. (Julio de 2017). Repositorio Institucional UNAM-Managua. Retrieved 5 de Noviembre de 2022, from https://repositorio.unan.edu.ni/7147/18/97474.pdf
- ❖ Serbán, N. B. (1995). INSTALACIONES ELECTRICAS. México, D.F.: ALFAOMEGA.
- SinSa. (s.f.). https://www.sinsa.com.ni/home

- Statista. (Abril de 2022). https://es.statista.com/estadisticas/1190096/tasa-de-inflacion-nicaragua/
- Sun Supply. (02 de Julio de 2021). https://www.sunsupplyco.com/componentes-de-un-sistema-de-energia-solar/
- TecnoSol. (s.f.). https://www.tecnosol.com.ni/contacto/
- ❖ TIERRA,P. A. (septiembre de 2017). INSTALACIONES ELECTROMECÁNICAS.
- https://ie2mmo.wordpress.com/2017/09/19/p43-27-puesta-a-tierra/
- Urbina, G. B. (2010). Evaluación de Proyectos (Sexta ed.). (P. Vazqués, & M. Zapata, Edits.) México: Mc Graw Hill Educación. Retrieved 2022, from https://www.academia.edu/13450952/Evaluacion_de_Proyectos_6ta_ed_Gabriel Baca U rbina
- ❖ Verde, E. S. (10 de agosto de 2021).
 YouTube. https://www.youtube.com/watch?v=AayUQqF4ics&t=1202s
- ❖ VILLACERO. (2021). TUBERÍA CONDUIT . VILLACERO.
- Weather Spark. (2022). Weather Spark: https://es.weatherspark.com/y/14918/Clima-promedio-en-Rivas-Nicaragua-durante-todo-el-año#Figures-PrecipitationProbability